Stage : Analyse des données de contrôle de dose en ligne durant un traitement en Hadronthérapie à travers la détection de protons secondaires.

Thèse : Etude du dispositif expérimental pour la mesure des sections efficaces auprès du centre de Hadronthérapie ARCHADE.

Directeur : M. Christian FINCK, Chargé de Recherche, IPHC Strasbourg

Co-encadrant : M. Marc ROUSSEAU, Maître de Conférences, Université de Strasbourg







Les chiffres du cancer

- 150 000 décès par an
- © 350 000 nouveaux cas par an
- Traitements les plus utilisés:

 Chirurgie (368 000 patients
 - Chirurgie (368 000 patients en 2009)
 - Chimiothérapie (270 000 patients)
 - Radiothérapie (170 000 patients)
 - Chirurgie + Radiothérapie ...

Les chiffres du cancer

- 150 000 décès par an
- § 350 000 nouveaux cas par an
- Traitements les plus utilisés:
 - Chirurgie (368 000 patients en 2009)
 - Chimiothérapie (270 000 patients)
 - Radiothérapie (170 000 patients)
 - Chirurgie + Radiothérapie ...

Taux de survie à 5 ans inégaux:

De 95/88% (F/H) pour la thyroïde à 5% pour le pancréas.

Les chiffres du cancer

- 150 000 décès par an
- © 350 000 nouveaux cas par an
- Traitements les plus utilisés:

 Chirurgie (368 000 patients
 - Chirurgie (368 000 patients en 2009)
 - Chimiothérapie (270 000 patients)
 - Radiothérapie (170 000 patients)
 - Chirurgie + Radiothérapie ...

Taux de survie à 5 ans inégaux: De 95/88% (F/H) pour la thyroïde à 5% pour le pancréas.



- Les thérapies ciblées (portrait moléculaire de la tumeur)
- Le système de radiochirurgie robotisée CyberKnife
- La **hadronthérapie** (utilisation d'ions)

Objectif:

Dépôt d'énergie dans les cellules tumorales

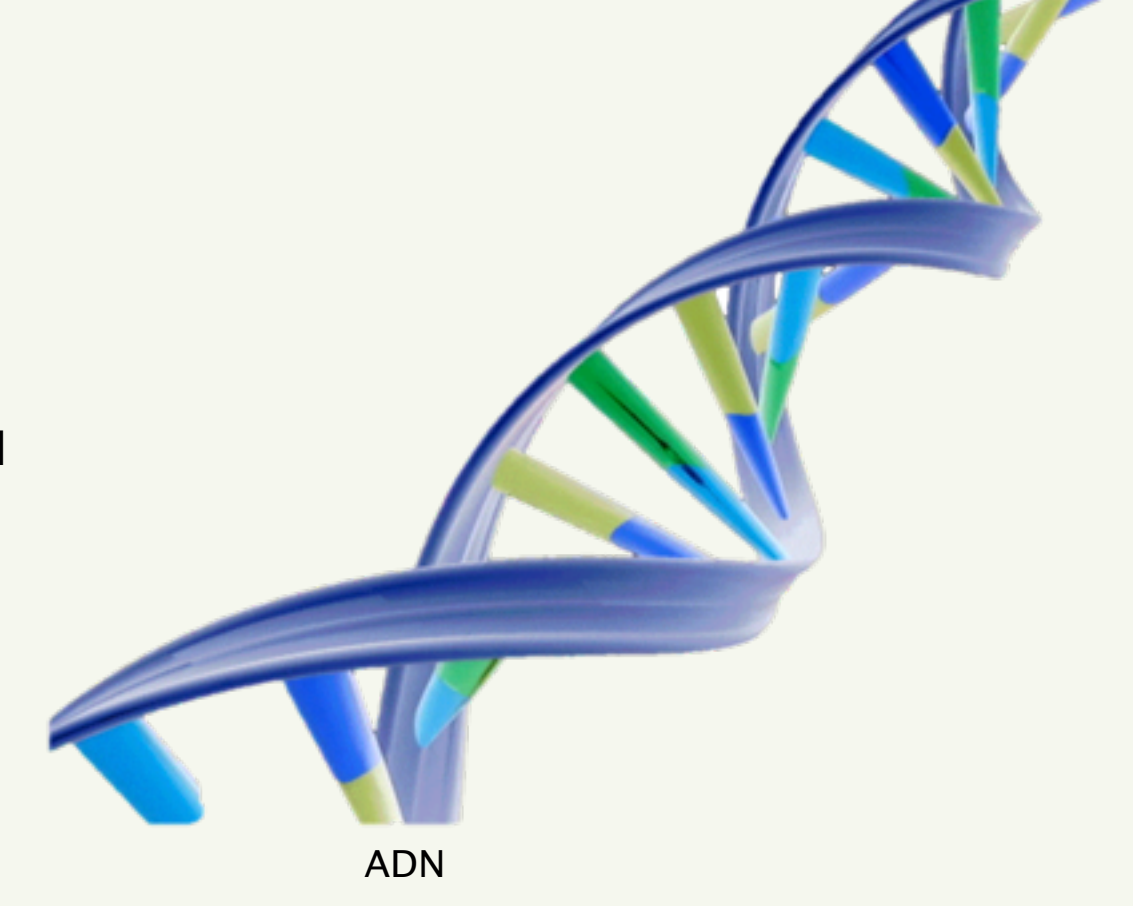
→Cassures des brins d'ADN

Didier Juliani

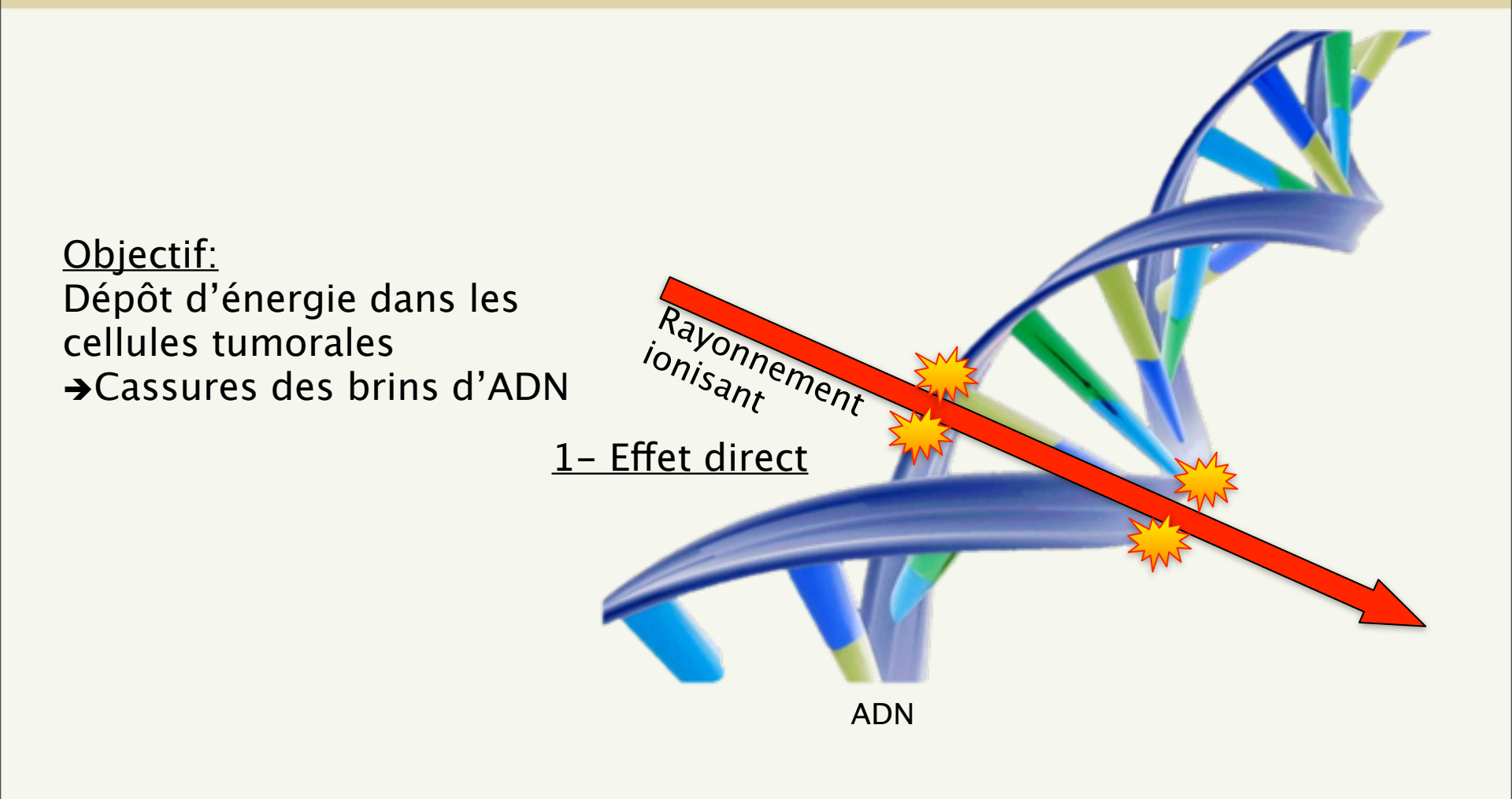
Objectif:

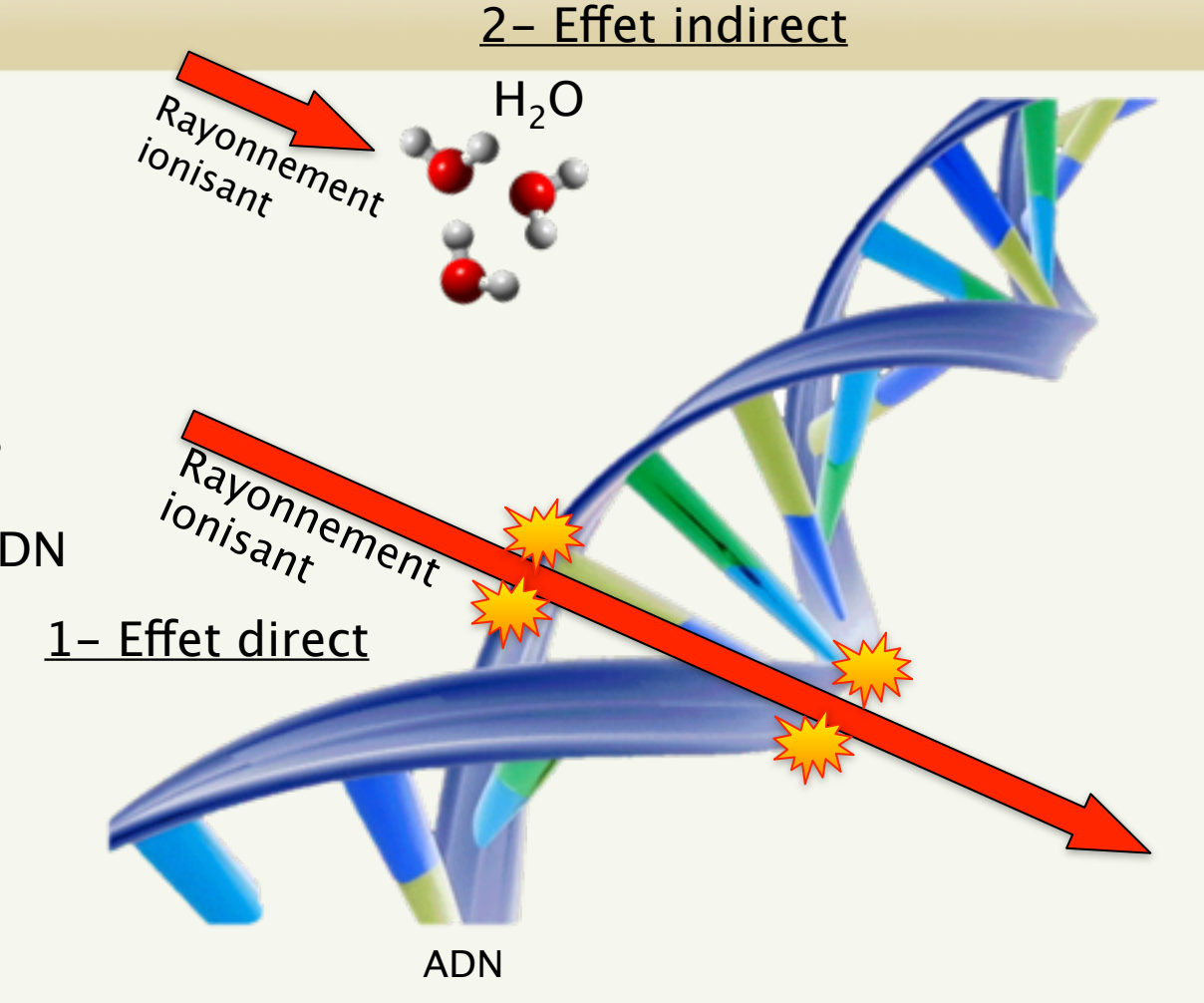
Dépôt d'énergie dans les cellules tumorales

→Cassures des brins d'ADN



Didier Juliani

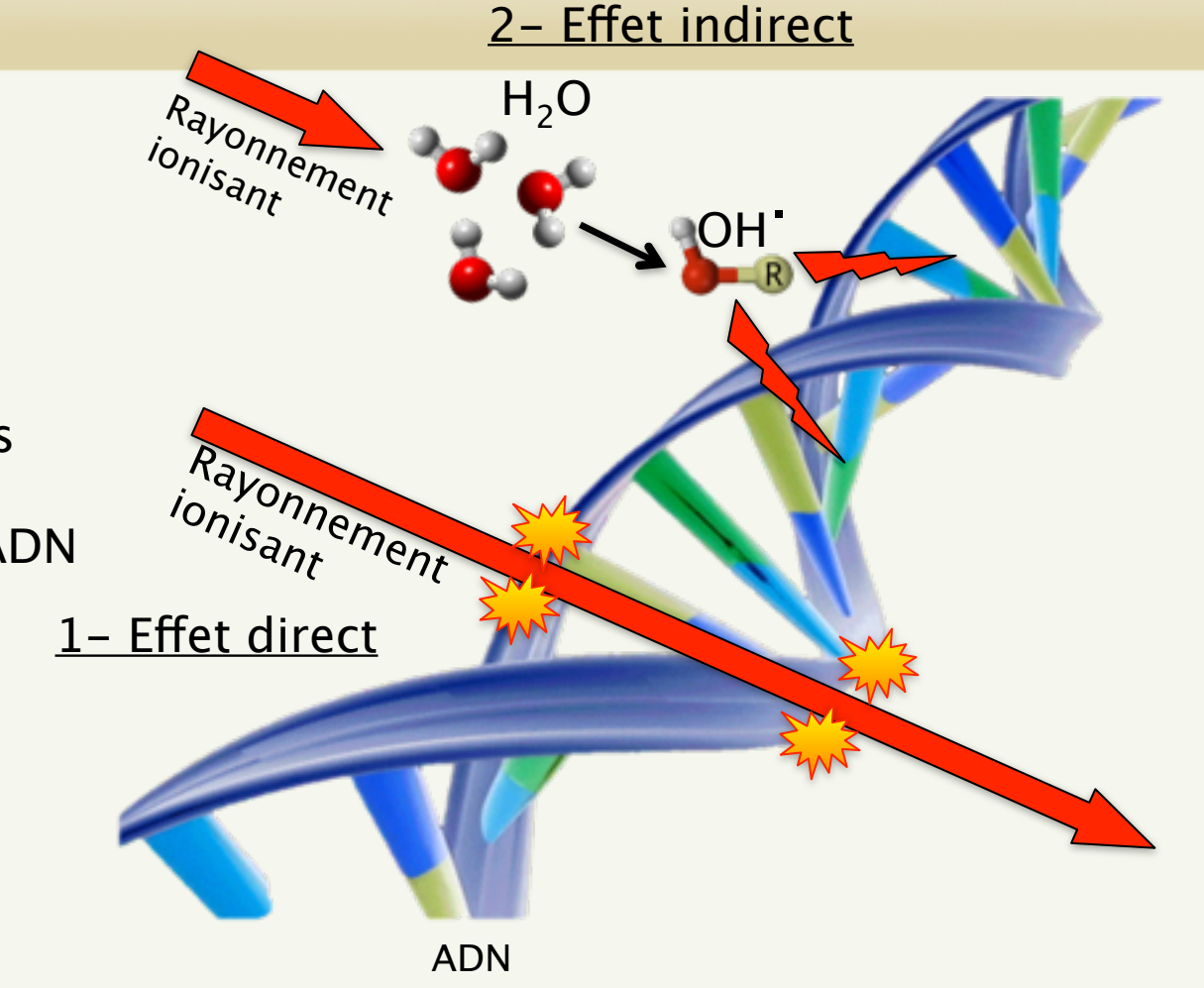




Objectif:

Dépôt d'énergie dans les cellules tumorales

→ Cassures des brins d'ADN



Objectif:

Dépôt d'énergie dans les cellules tumorales

→Cassures des brins d'ADN

Interaction ion-matière

Collision avec les électrons de la cible (coulombienne)

Didier Juliani

La hadronthérapie contre le cancer

Interaction ion-matière

Collision avec les électrons de la cible (coulombienne)

Formule de Bethe-Bloch:

$$\frac{dE}{dx} = \frac{4\pi e^4 Z_t Z_p^2}{m_e v^2} \left[\ln \frac{2m_e v^2}{\langle I \rangle} - \ln(1 - \beta^2) - \beta^2 - \frac{C}{Z_t} - \frac{\delta}{2} \right]$$

Z_p: charge du projectile

Z_t : charge de l'atome cible

v : vitesse du projectile

<l> : énergie d'ionisation

moyenne

Interaction ion-matière

Collision avec les électrons de la cible (coulombienne)

Formule de Bethe-Bloch:

$$\frac{\widetilde{G}}{\widetilde{G}} = \frac{dE}{dx} = \frac{4\pi e^4 Z_t Z_p^2}{m_e v^2} \left[\ln \frac{2m_e v^2}{\langle I \rangle} - \ln(1 - \beta^2) - \beta^2 - \frac{C}{Z_t} - \frac{\delta}{2} \right]$$

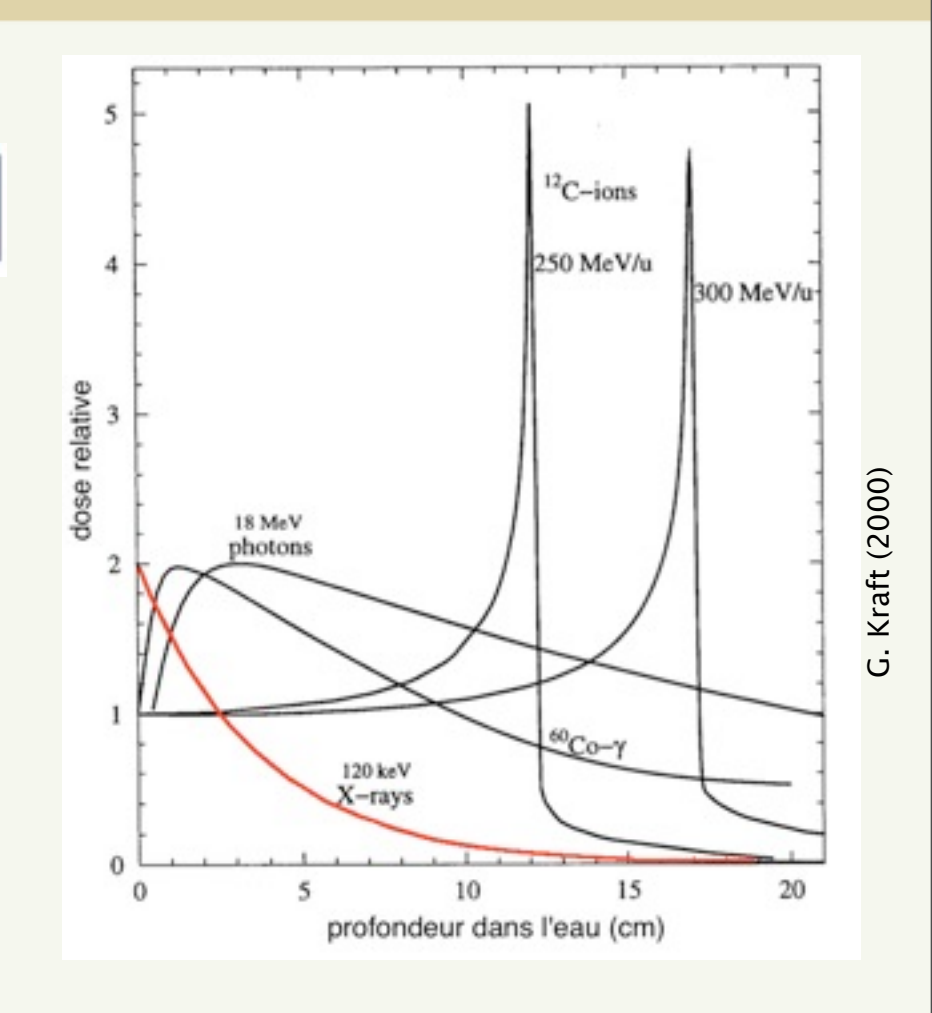
Z_p: charge du projectile

Z_t : charge de l'atome cible

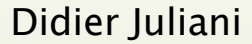
v : vitesse du projectile

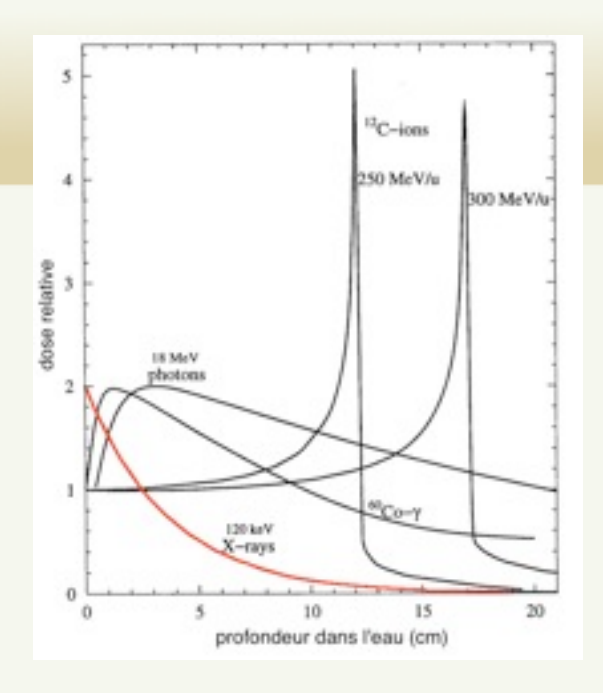
<l> : énergie d'ionisation

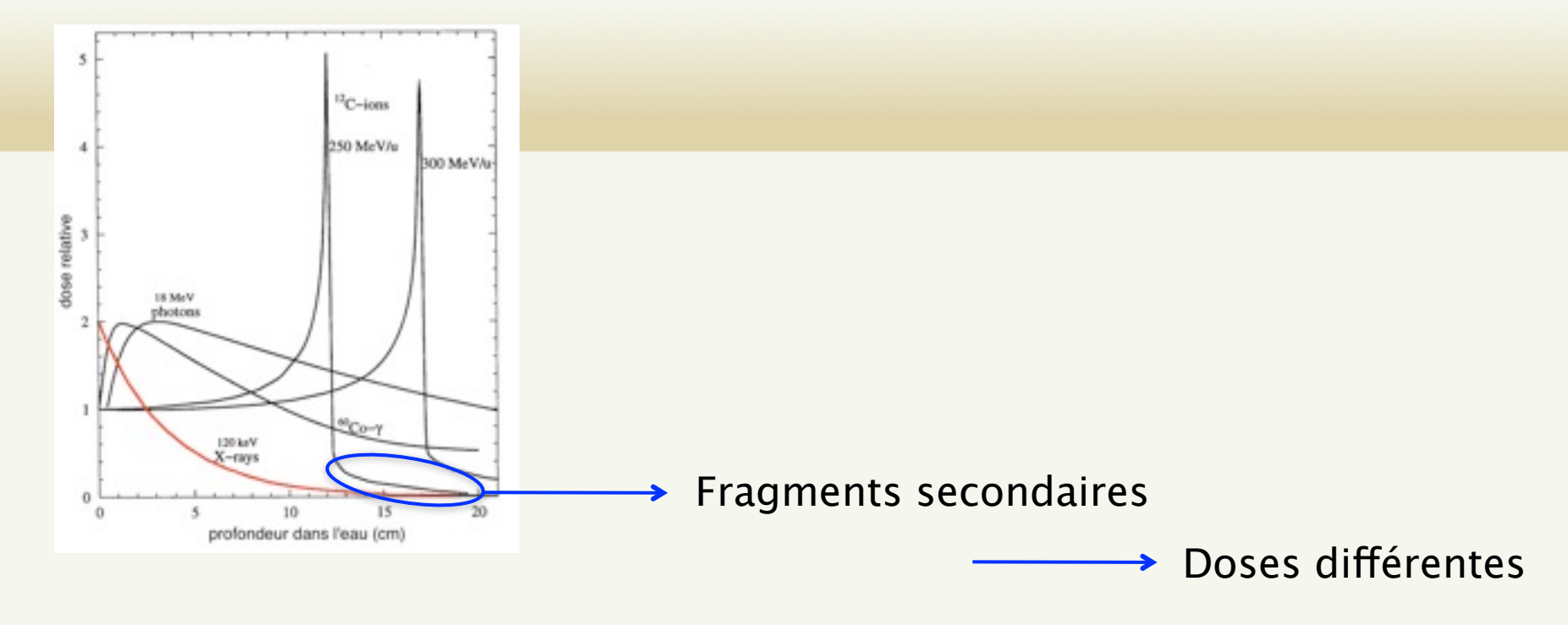
moyenne

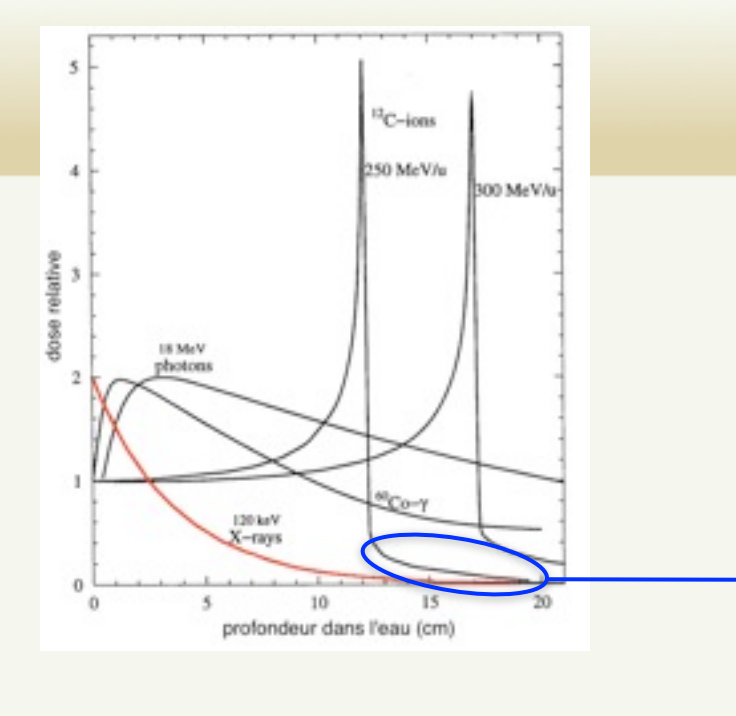






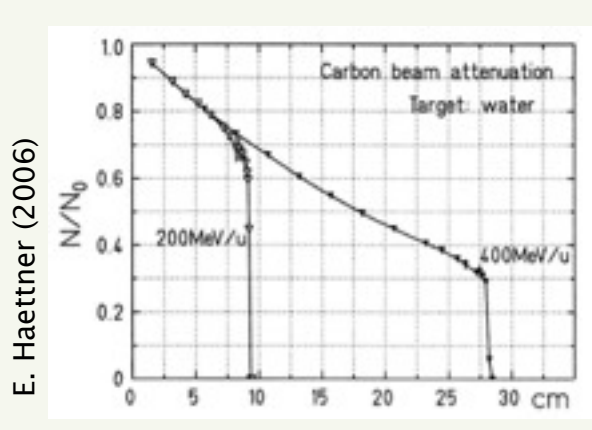






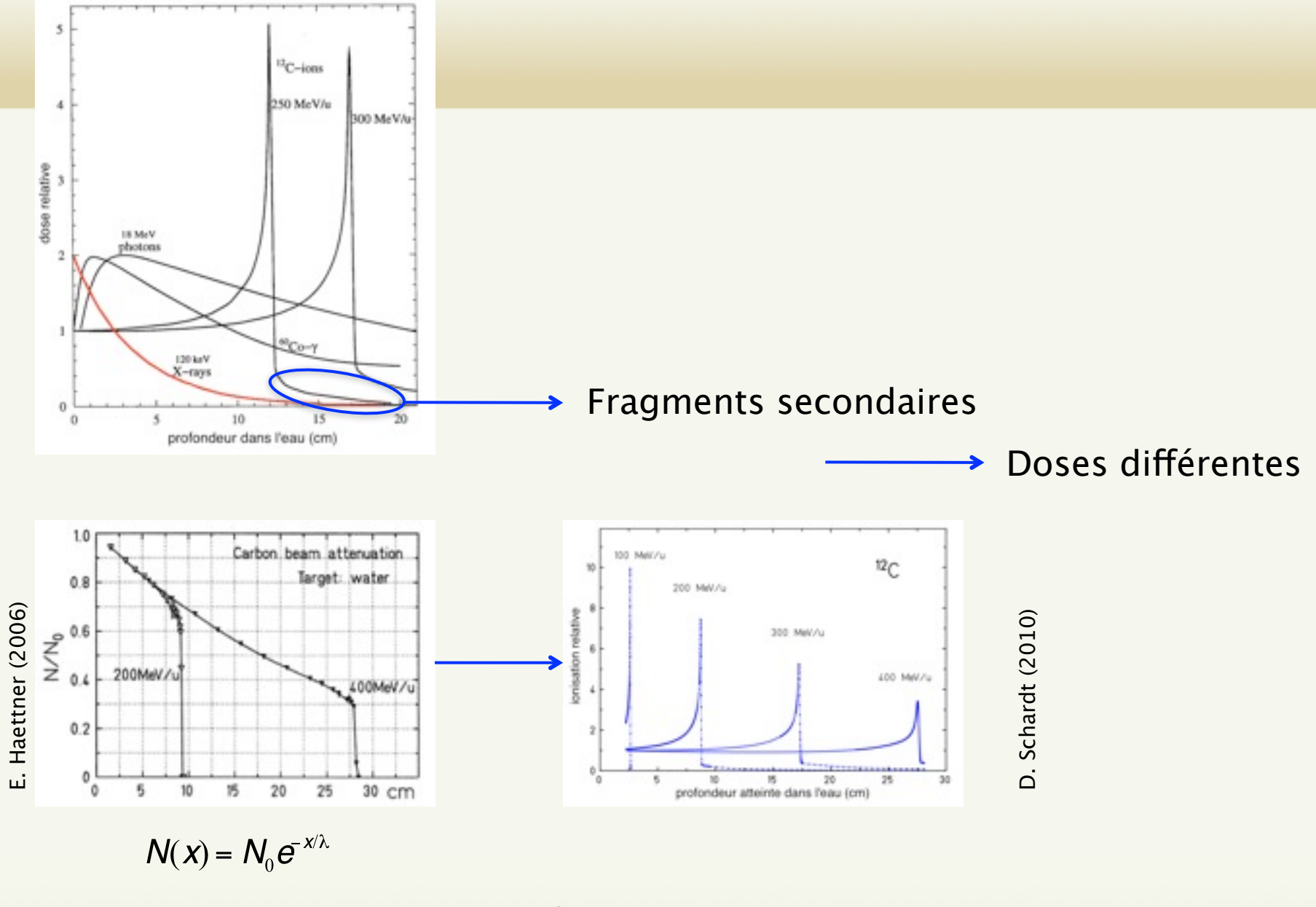
Fragments secondaires

Doses différentes



$$N(x) = N_0 e^{-x/\lambda}$$

Didier Juliani

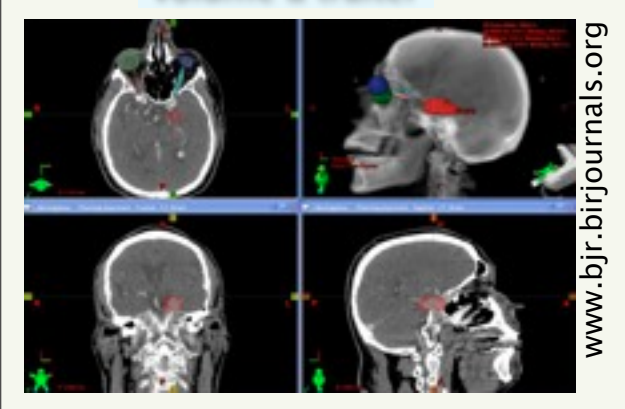


Didier Juliani

La hadronthérapie contre le cancer

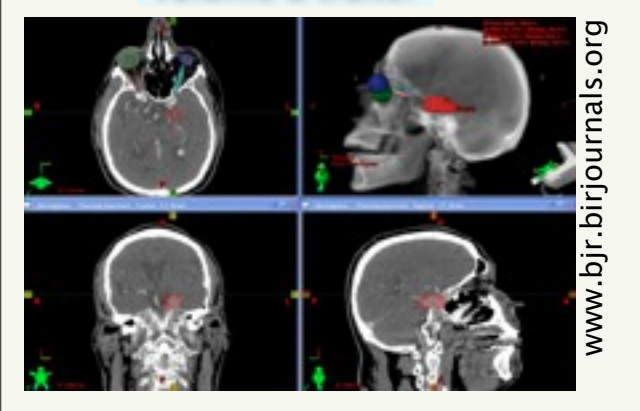
1. Imagerie

délimiter le volume à traiter



1. Imagerie

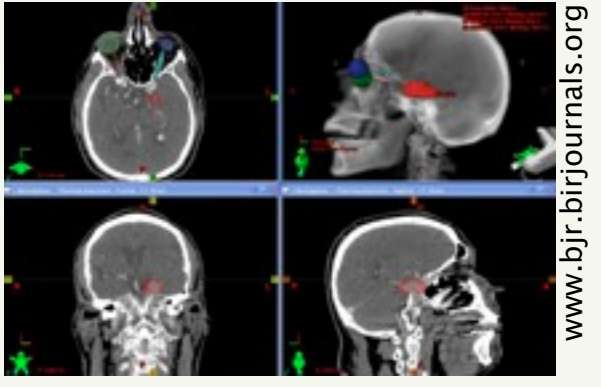
délimiter le volume à traiter



2. Logiciel de planification élaboration du plan de traitement



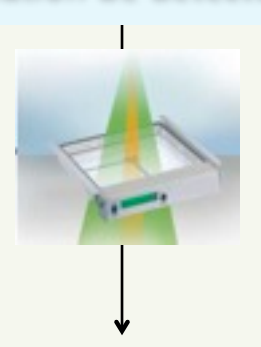




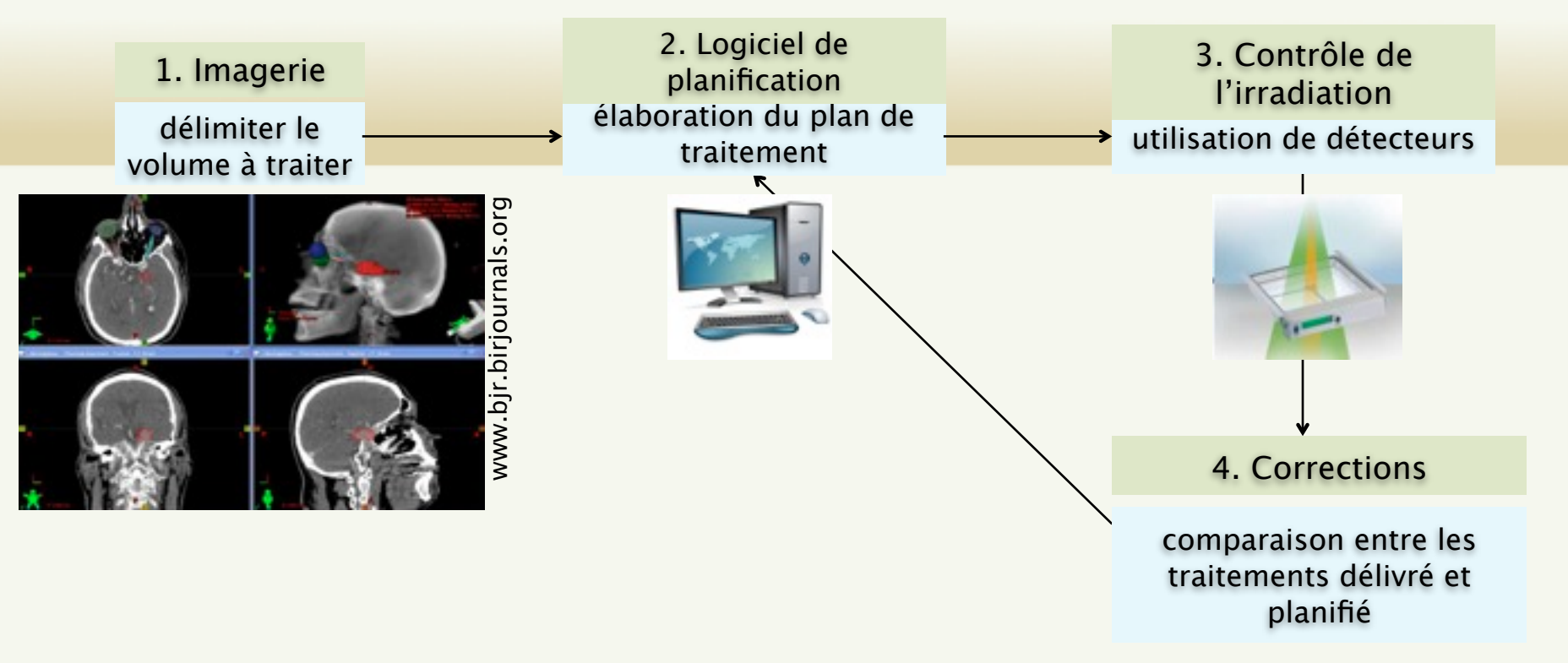
2. Logiciel de planification élaboration du plan de traitement

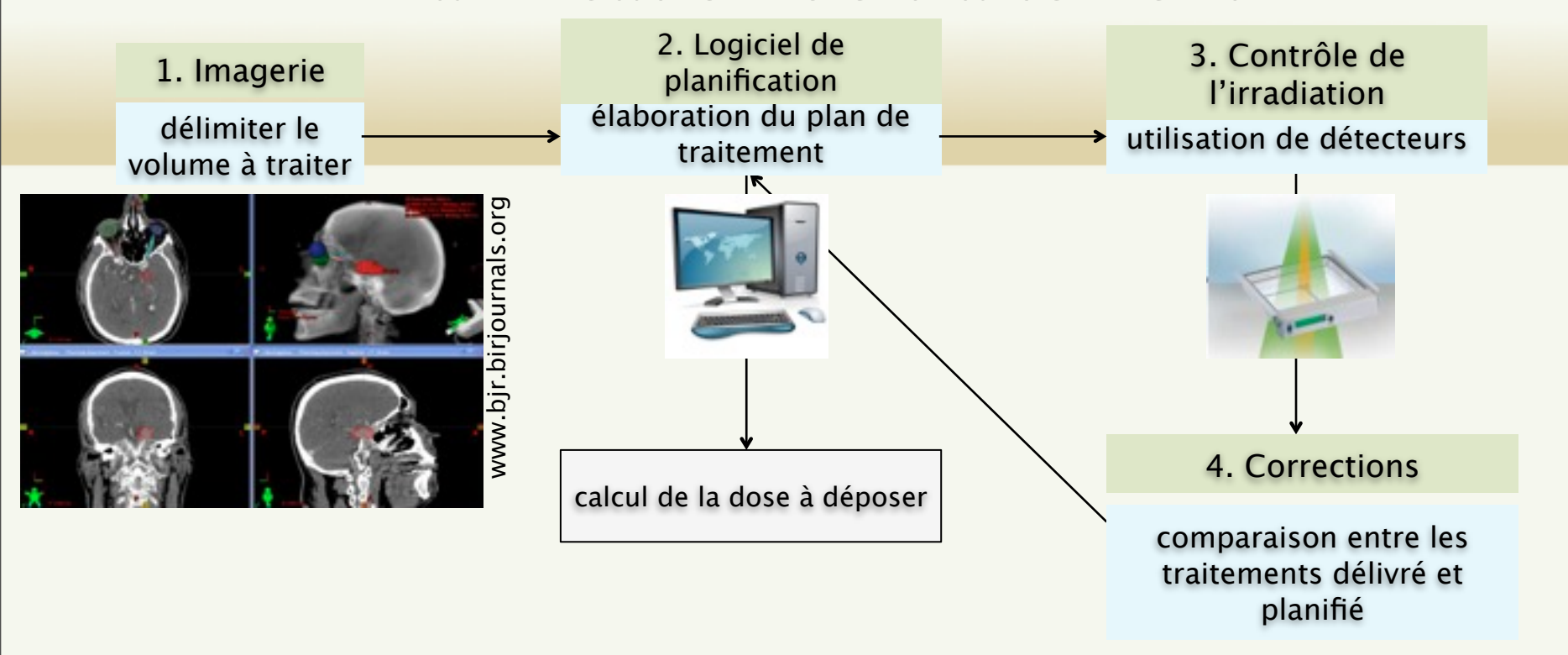


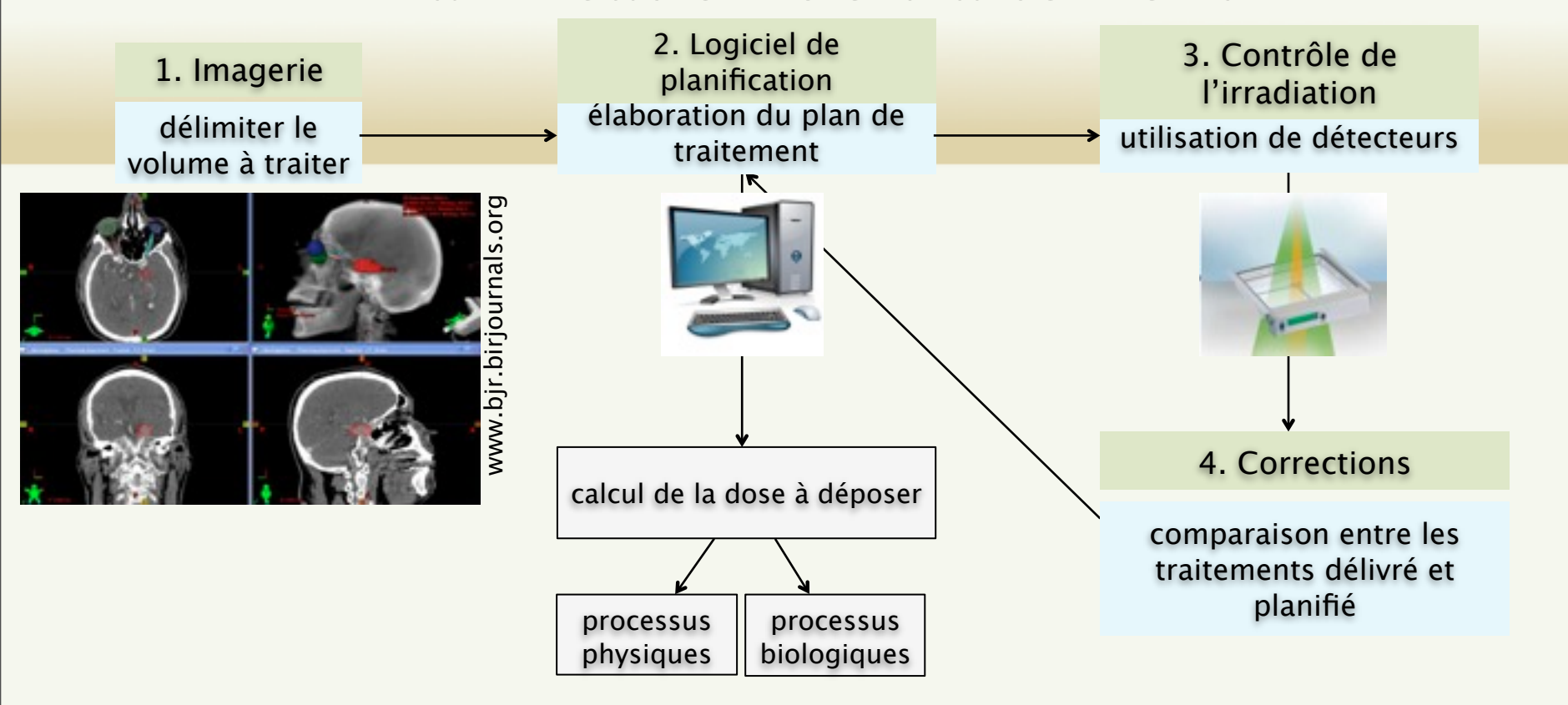
3. Contrôle de l'irradiation utilisation de détecteurs

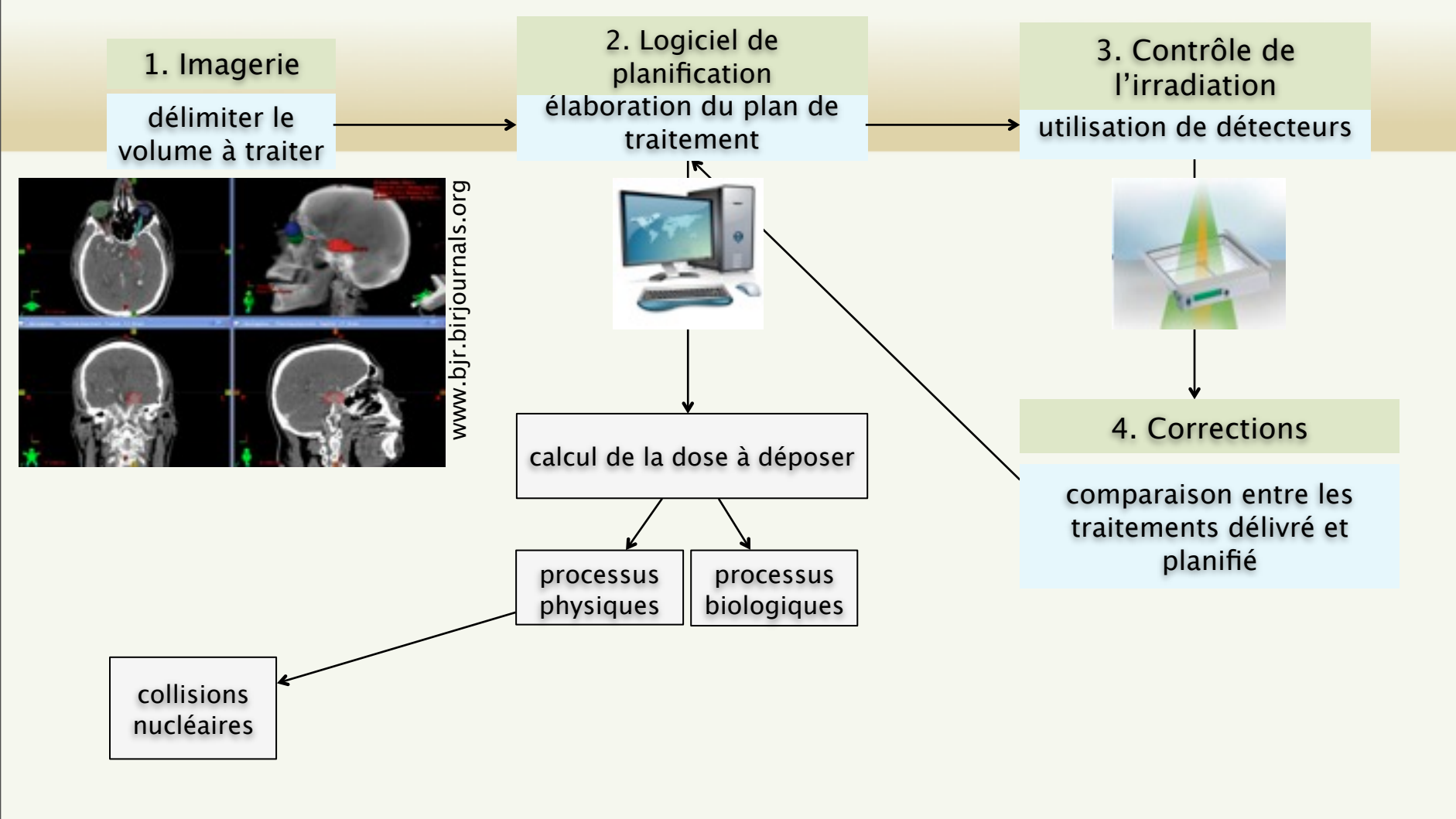






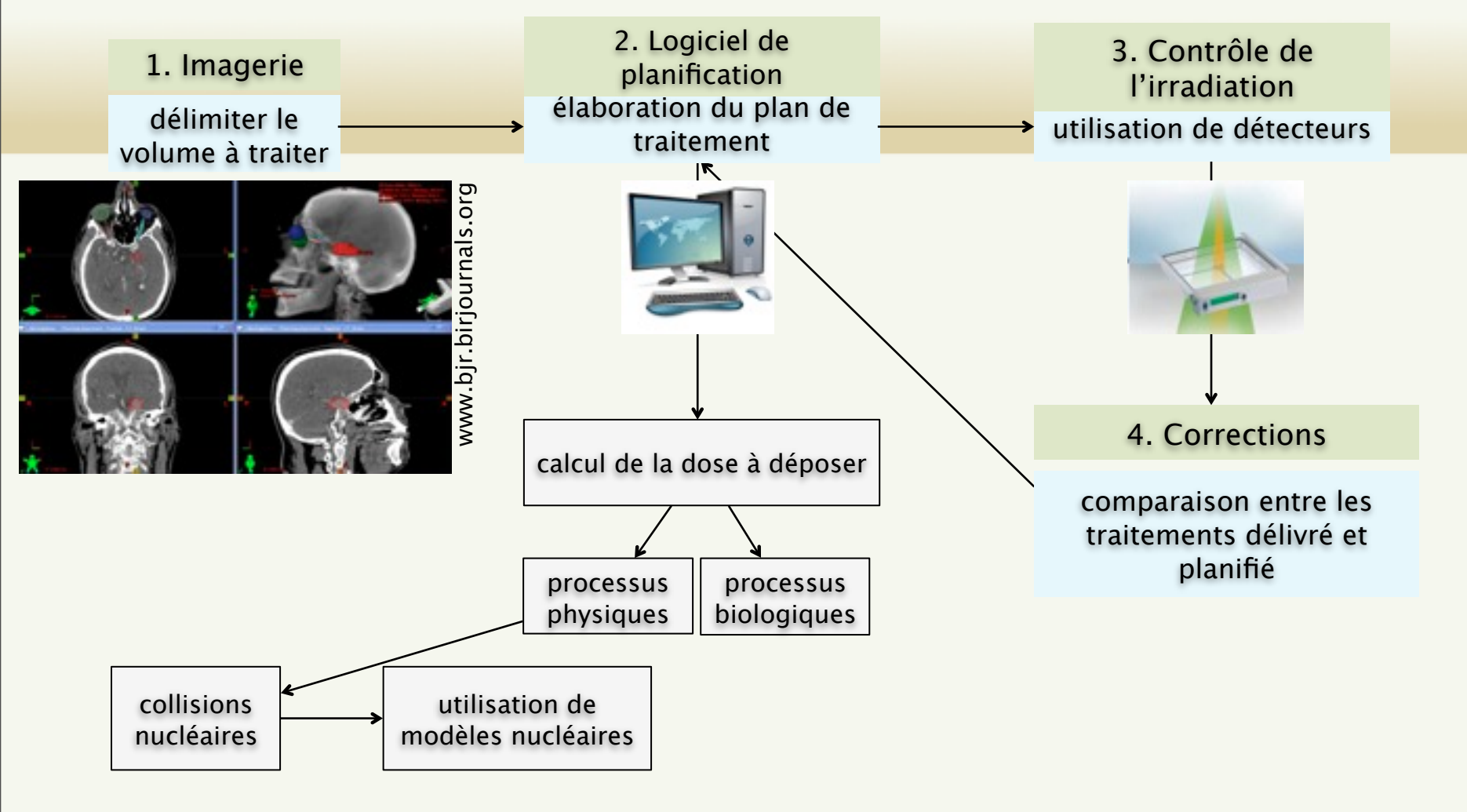


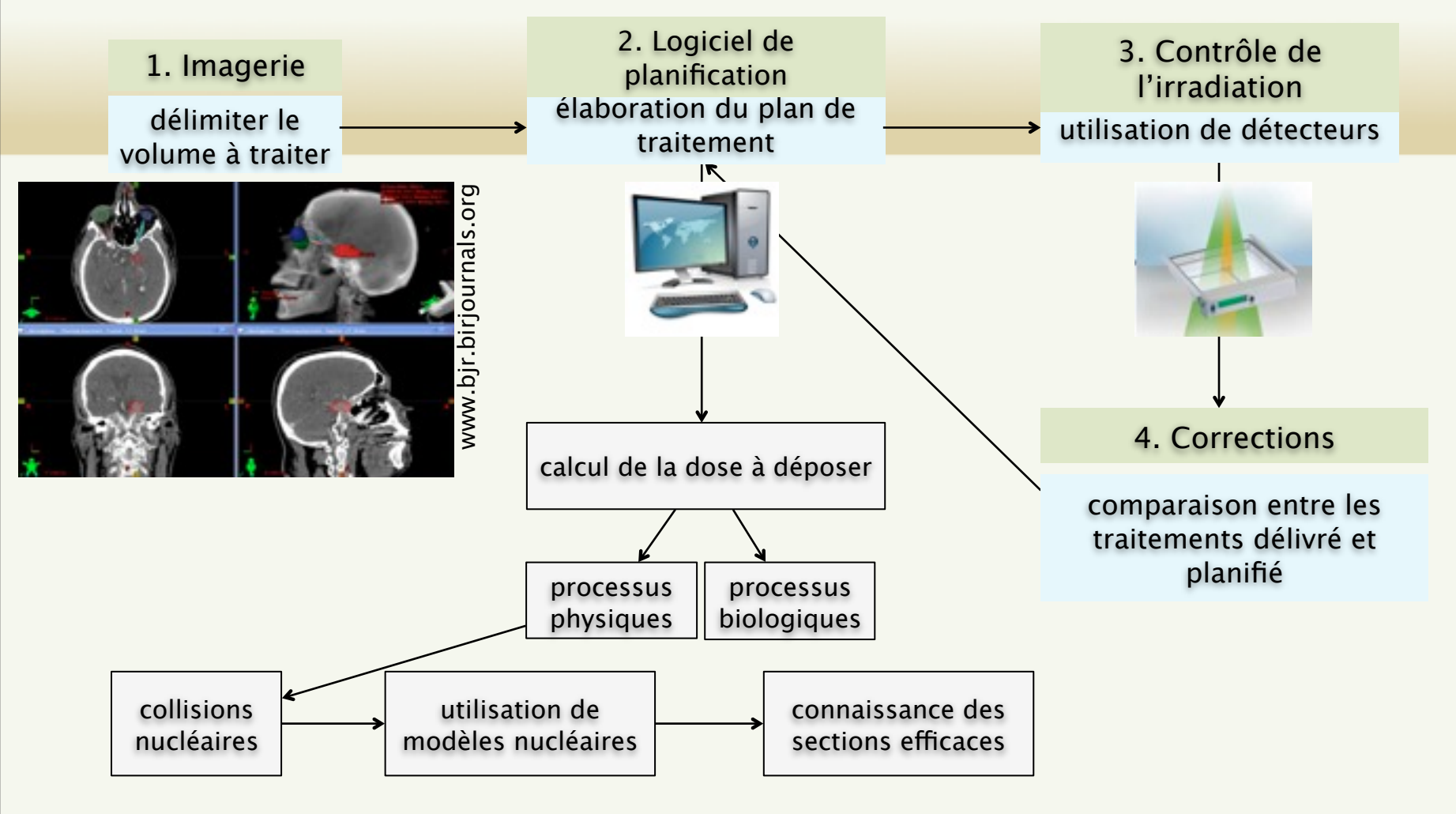




Didier Juliani

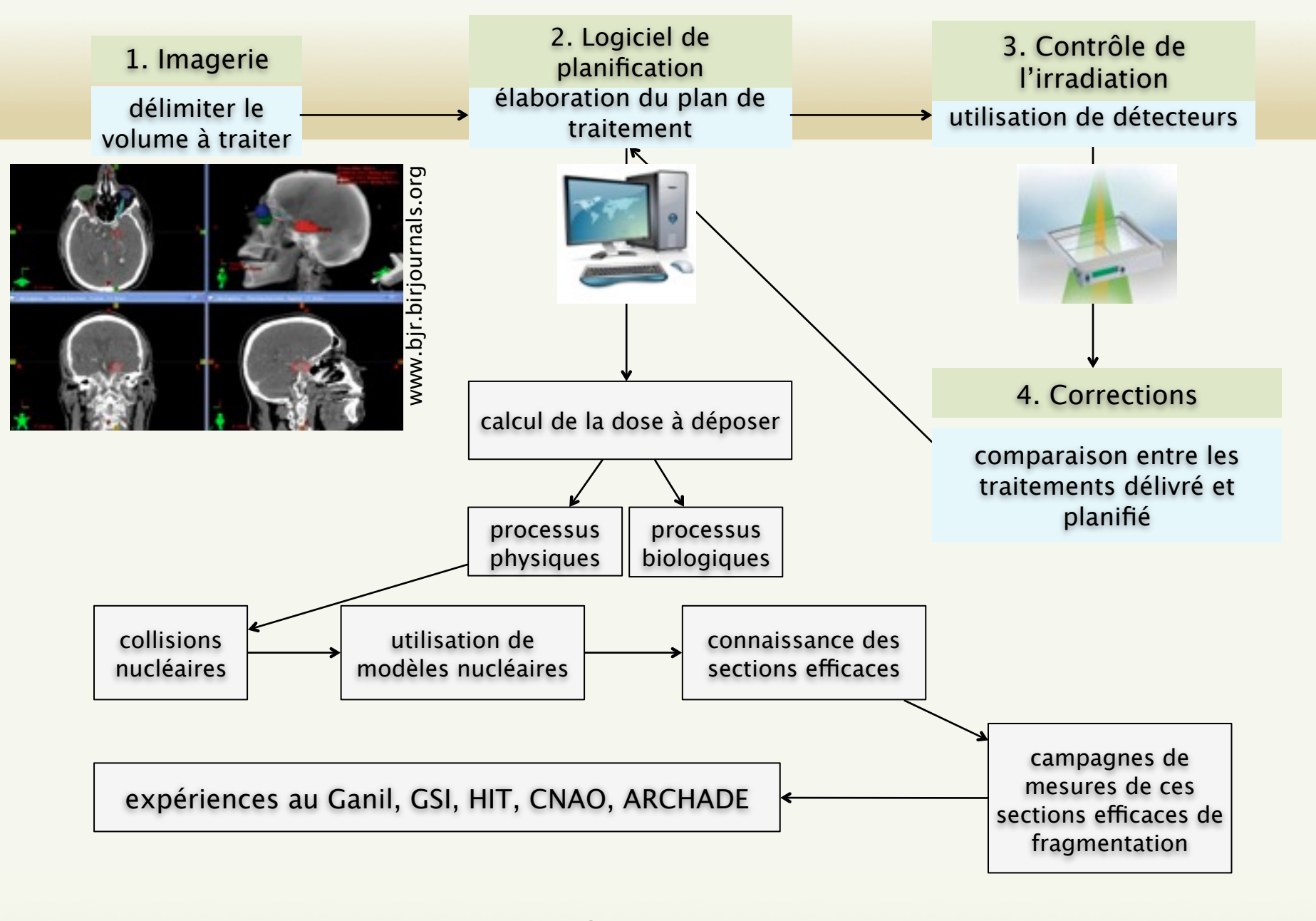
La hadronthérapie contre le cancer





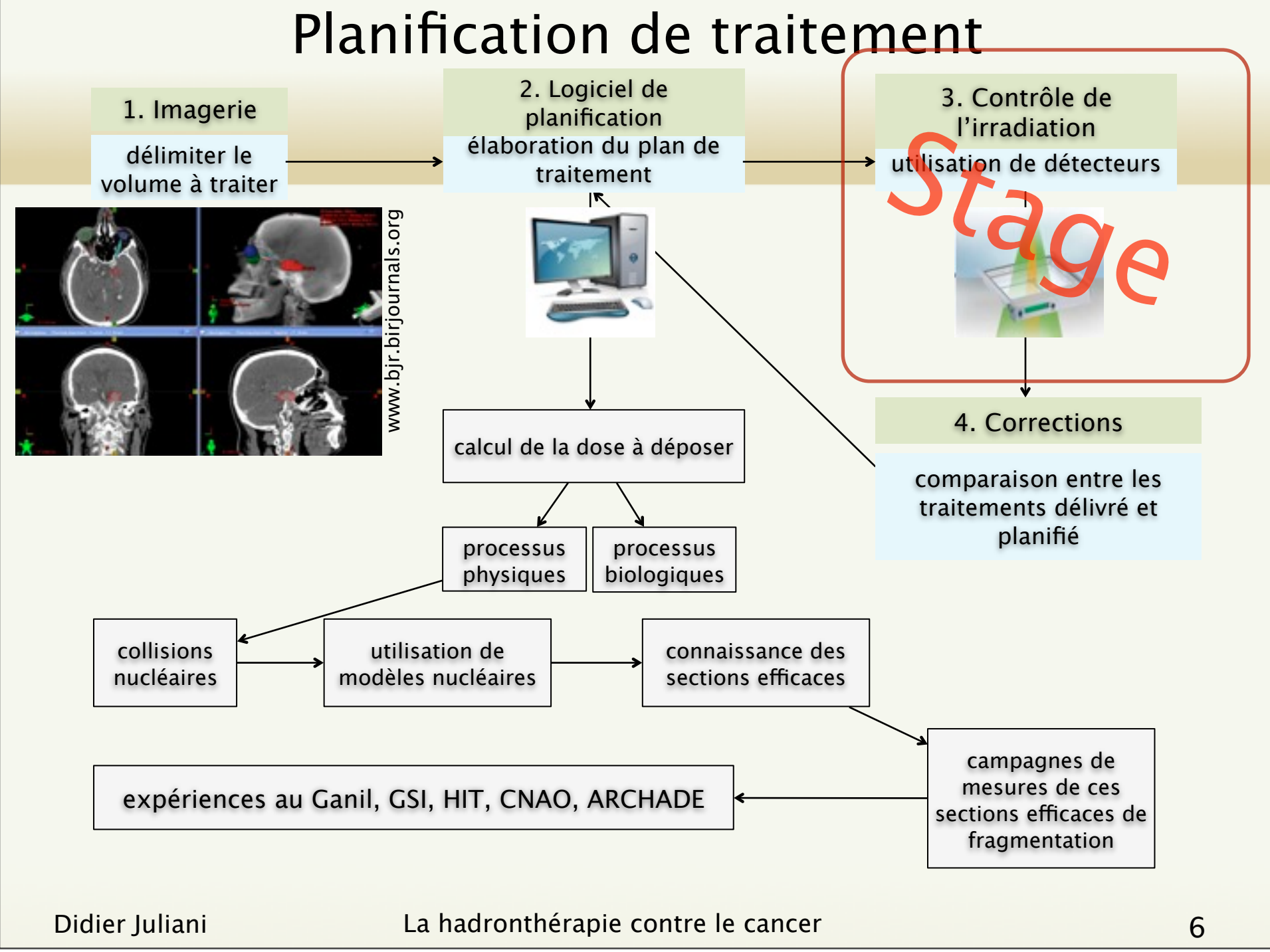
Didier Juliani

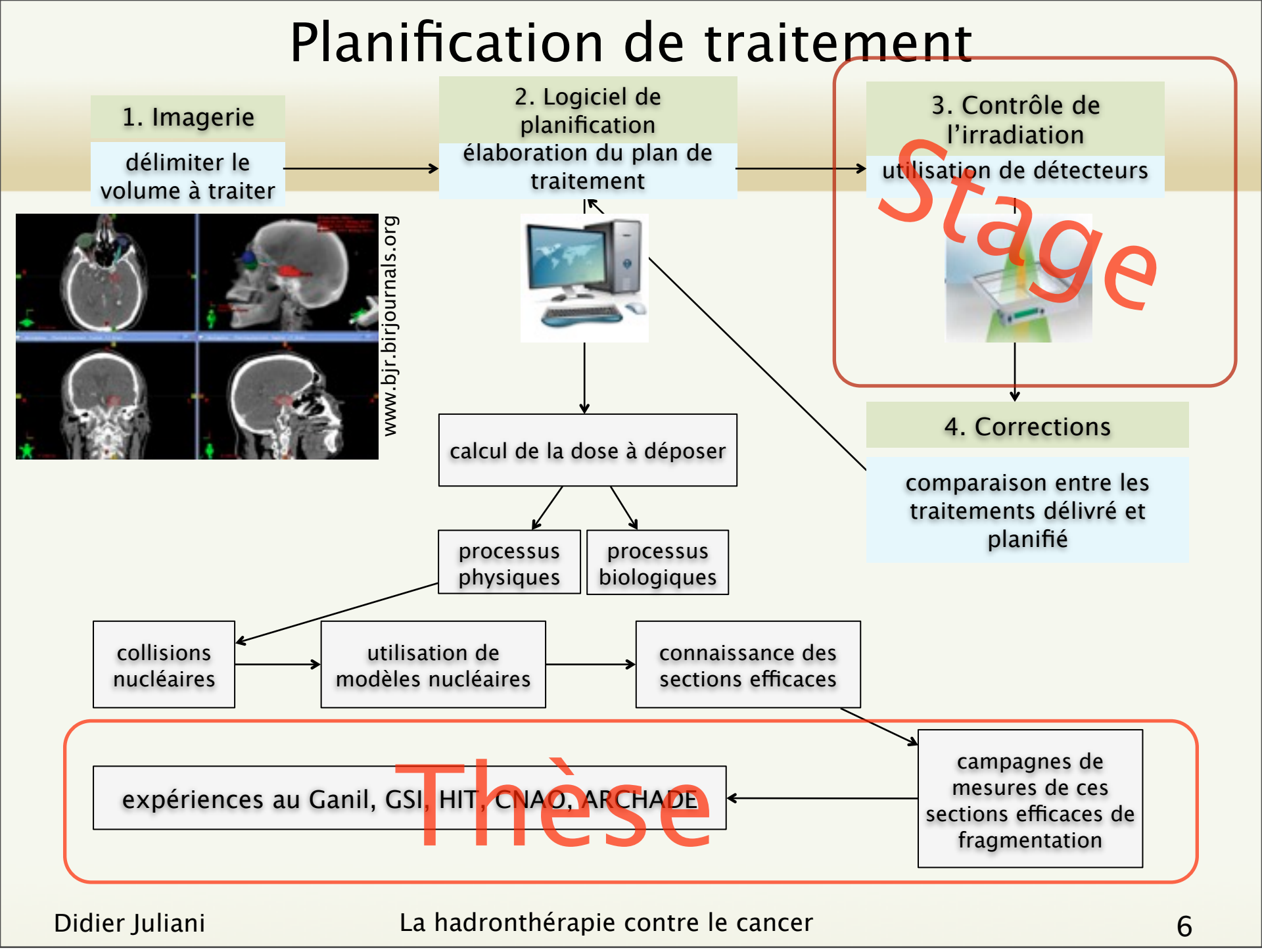
La hadronthérapie contre le cancer



Didier Juliani

La hadronthérapie contre le cancer





Stage

Analyse des données de contrôle de dose en ligne durant un traitement en Hadronthérapie à travers la détection de protons secondaires.

Principe



Principe



Regina Rescigno

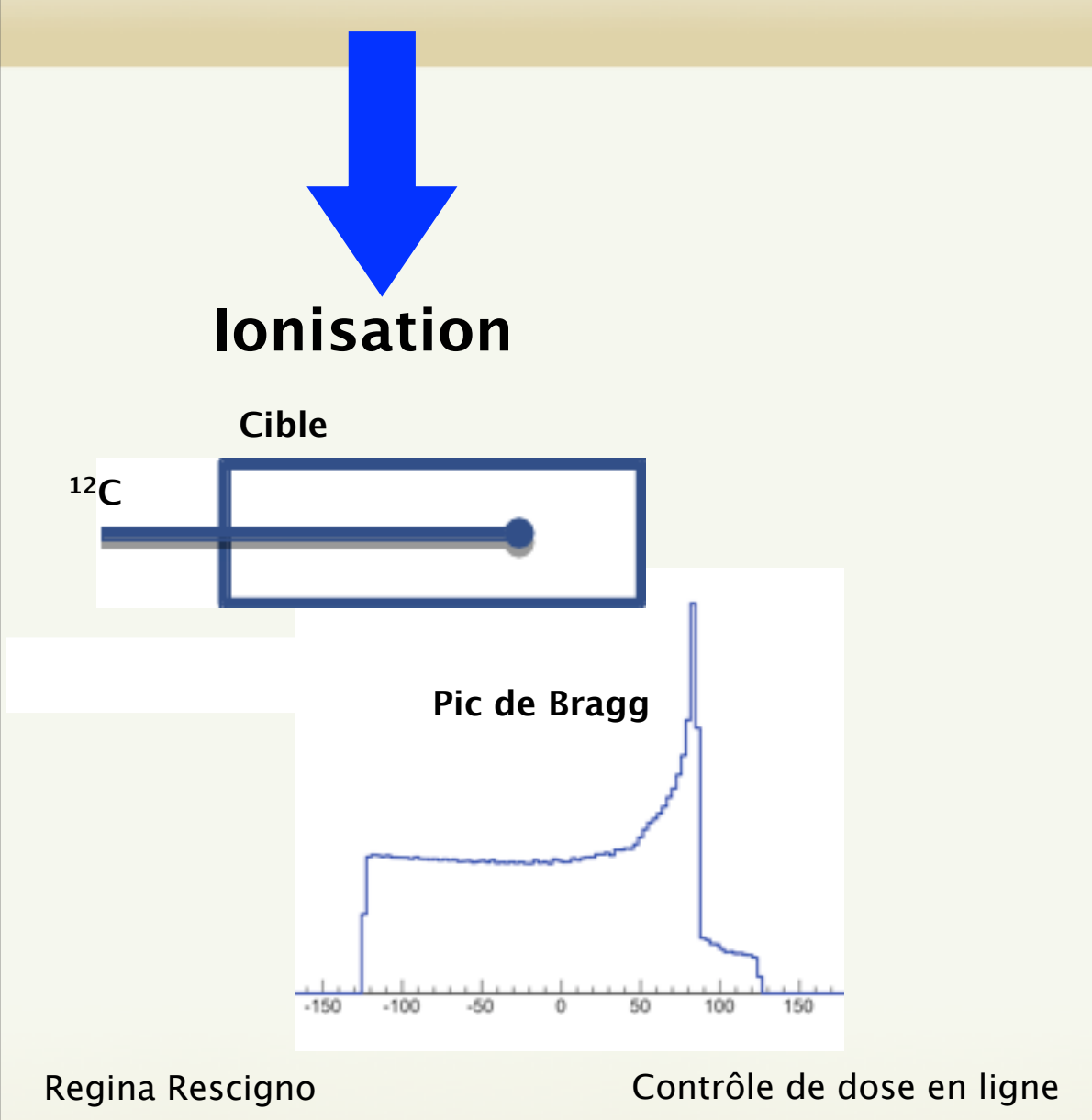
Principe

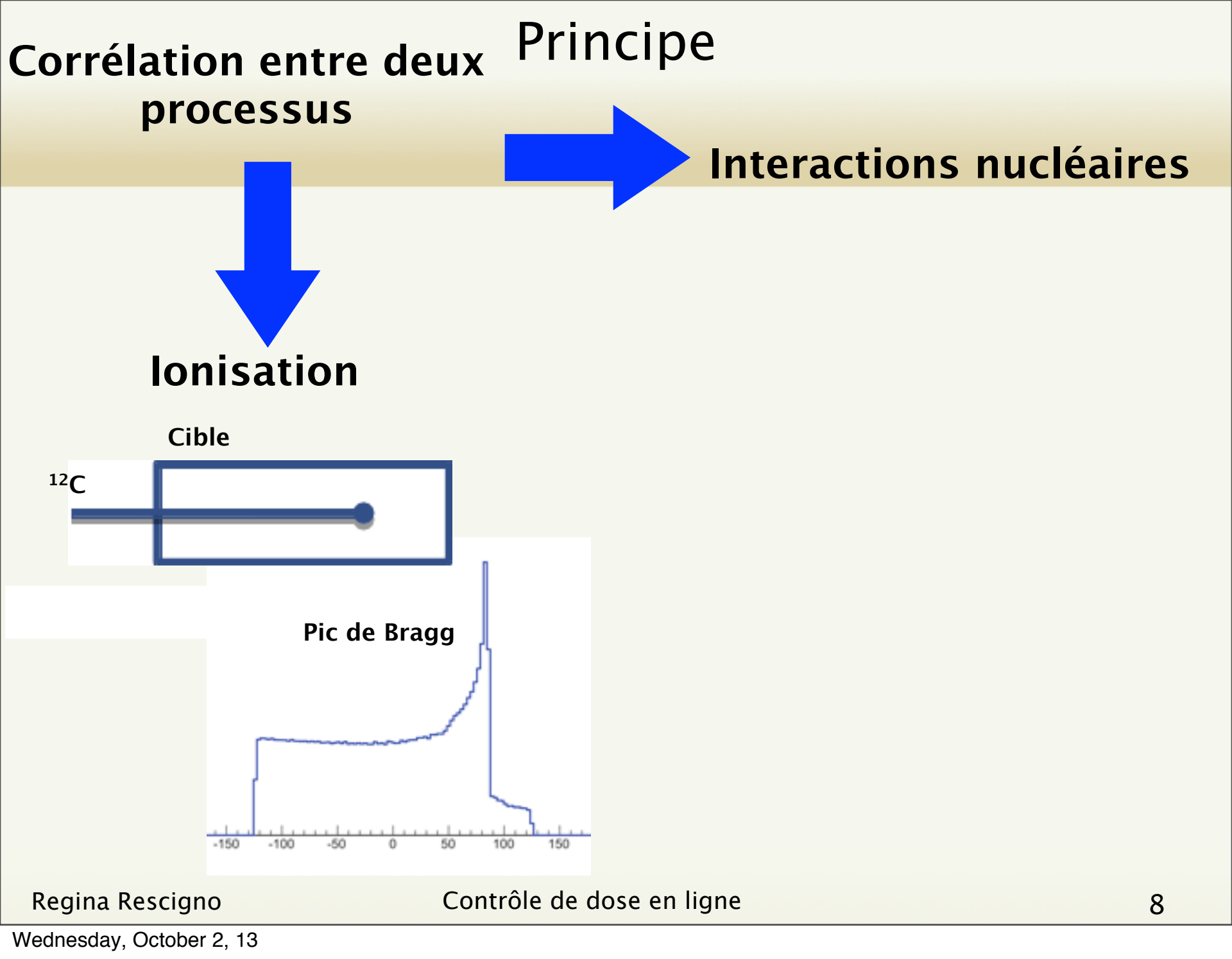
Corrélation entre deux processus

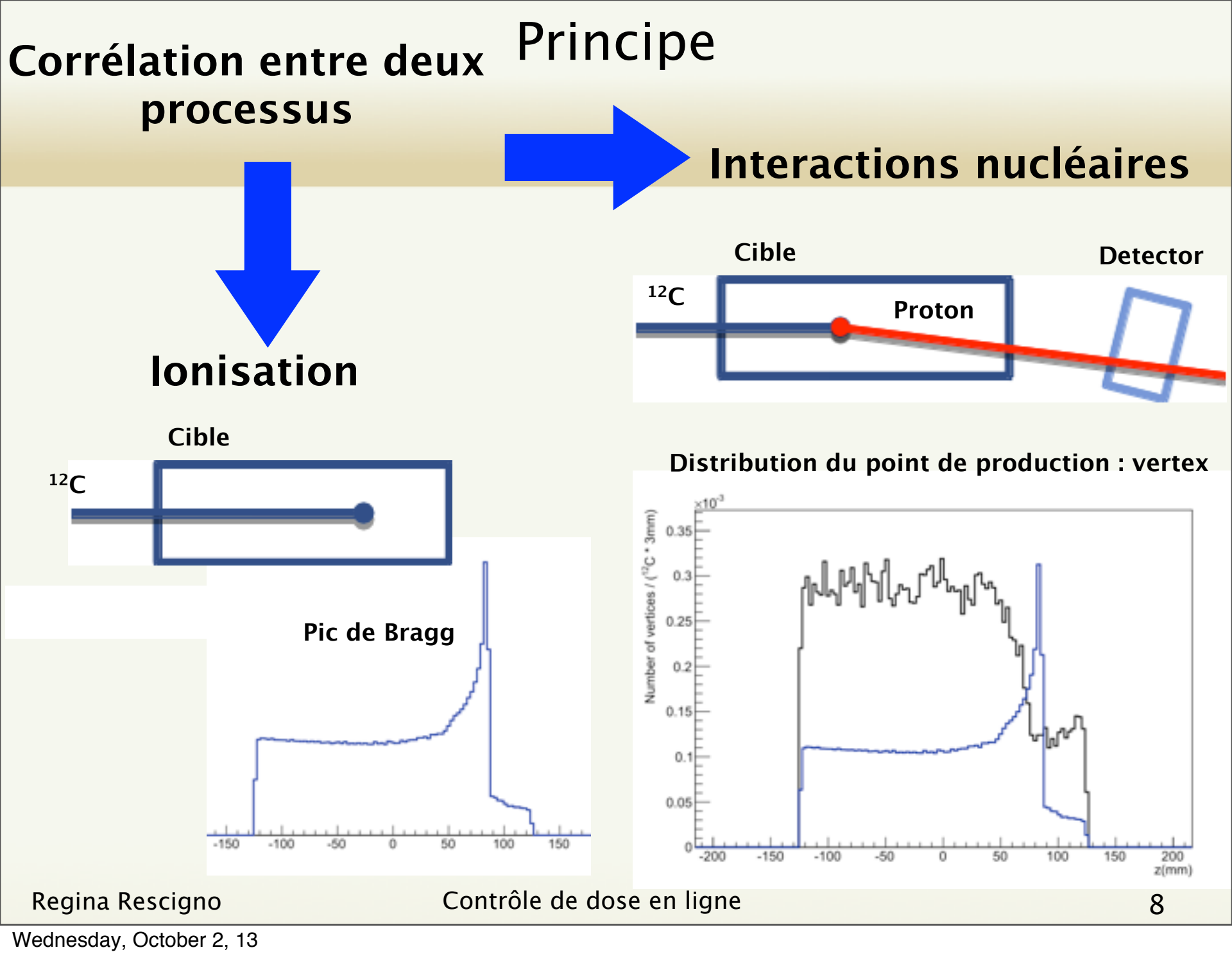


entre deux Principe

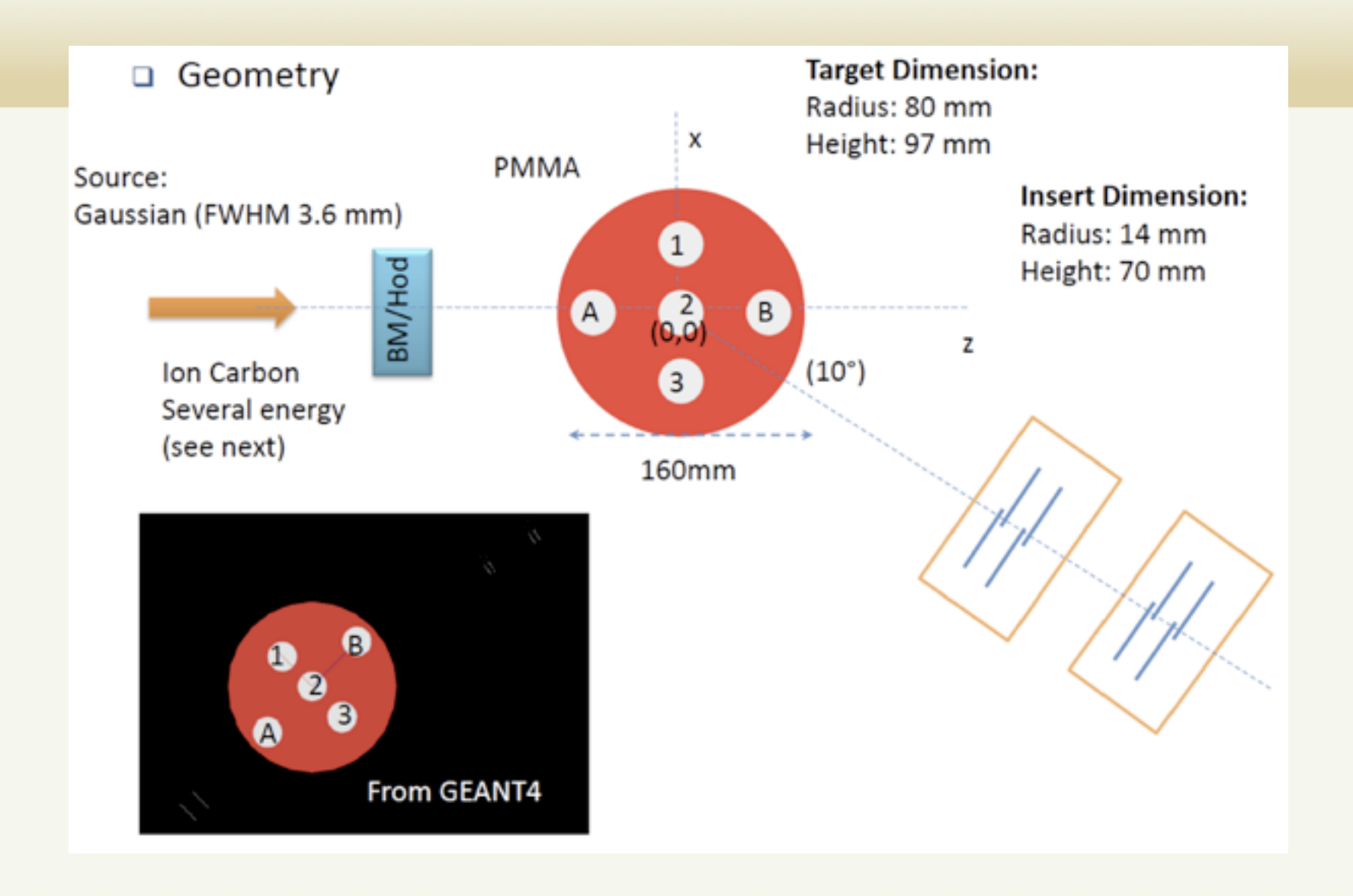








Dispositif expérimental (HIT)



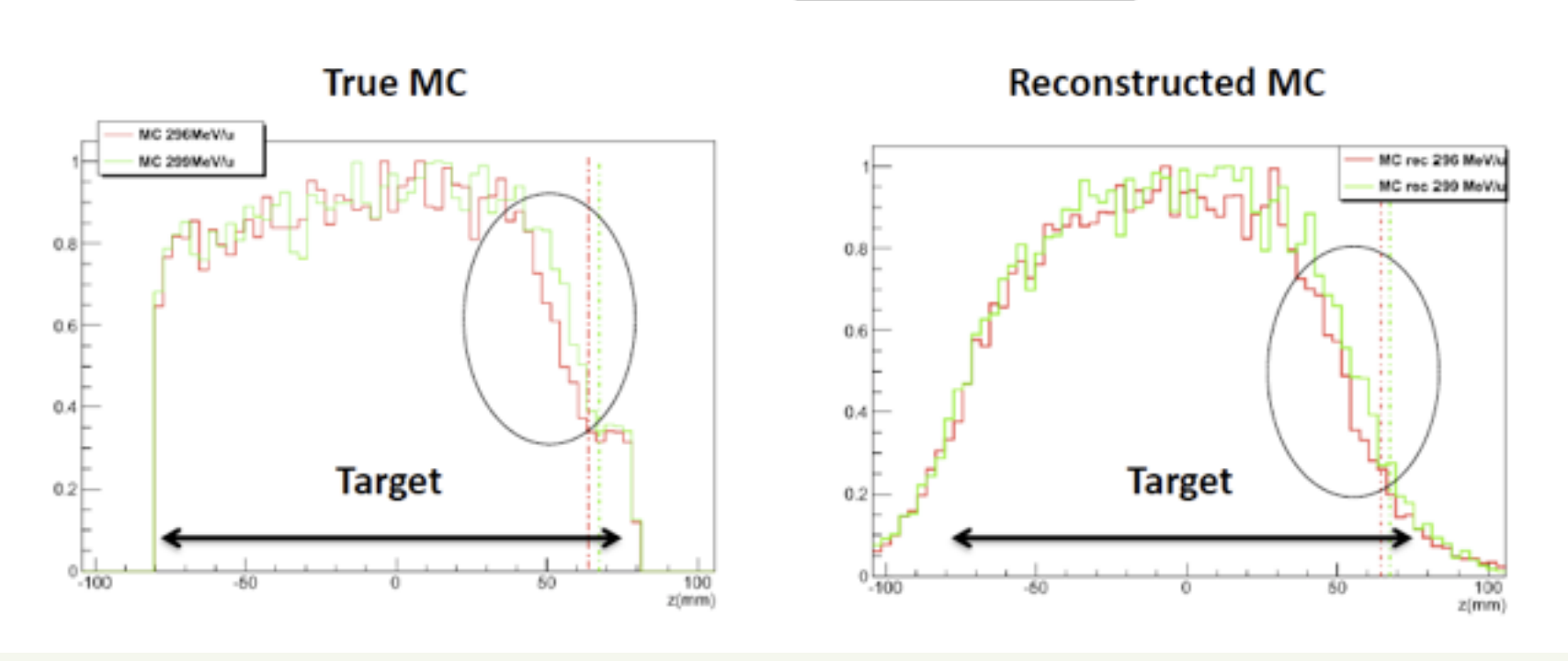
Regina Rescigno

Contrôle de dose en ligne

Résultats

- Run 33 (296 MeV/u) vs. 37 (299 MeV/u)
- □ ΔBP position ~ 3 mm

Homogeneus target



Stage : se familiariser avec les méthodes de détection de particules dans le cadre de la hadronthérapie.

But : trouver une méthode qui permet de remonter à la différence en position du pic de Bragg en partant des distributions de vertex.

Regina Rescigno

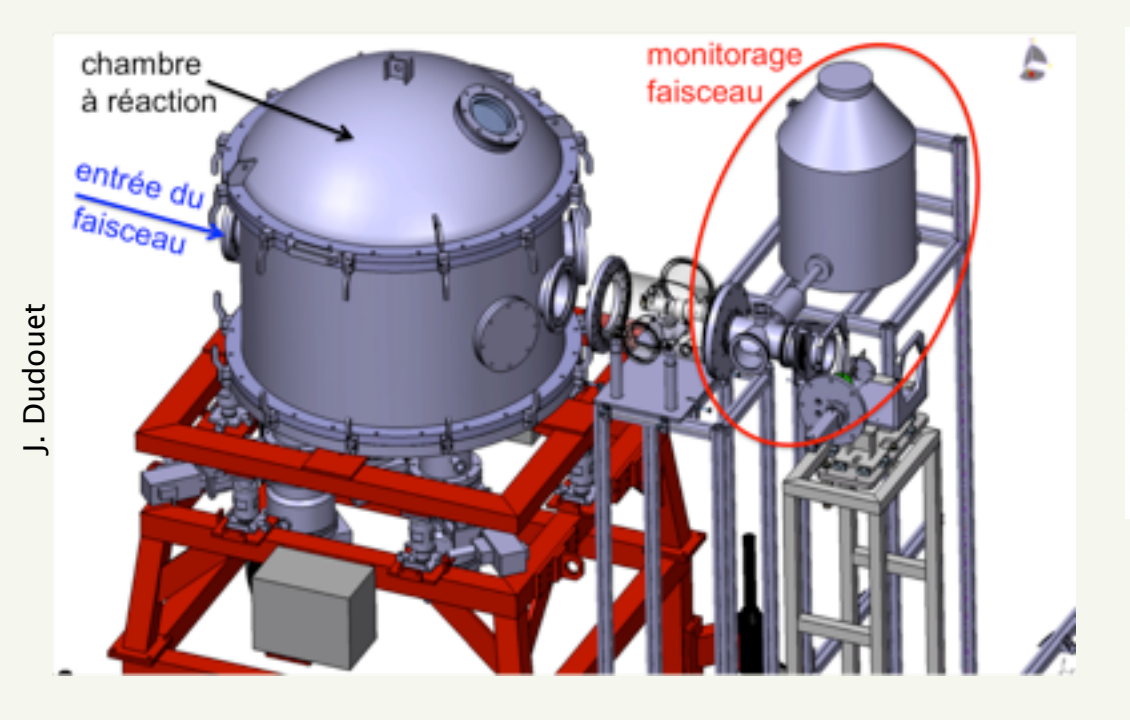
Contrôle de dose en ligne

Thèse

Etude du dispositif expérimental pour la mesure des sections efficaces auprès du centre de hadronthérapie ARCHADE.

Dispositif expérimental E600

Objectif: mesures de sections efficaces doublement différentielles pour les réactions C+C, C+H, C+Ti, C+O à 95 MeV/n.



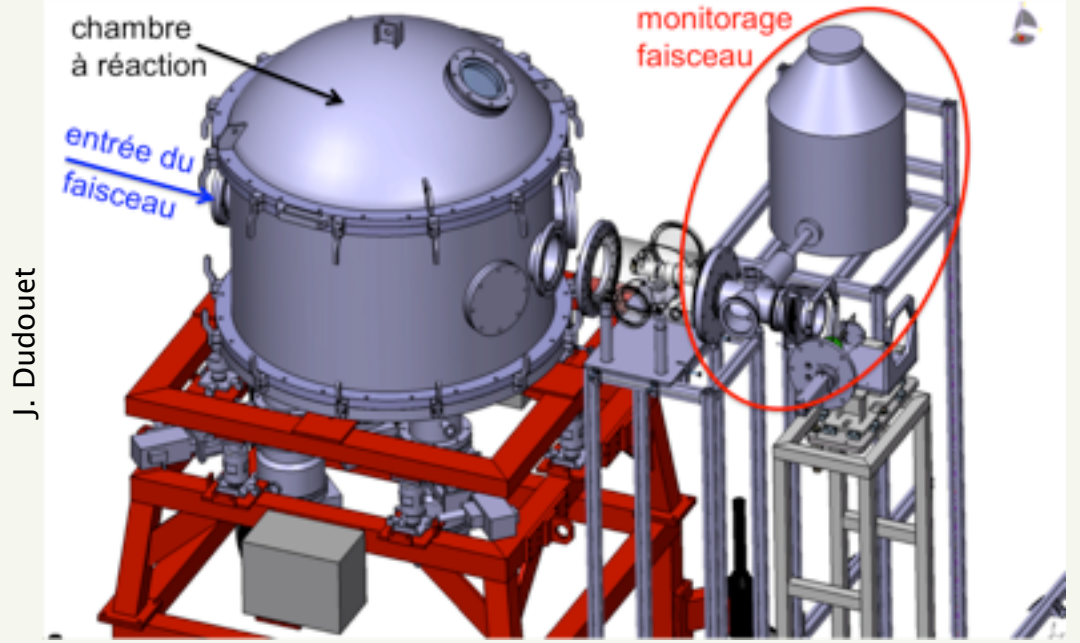


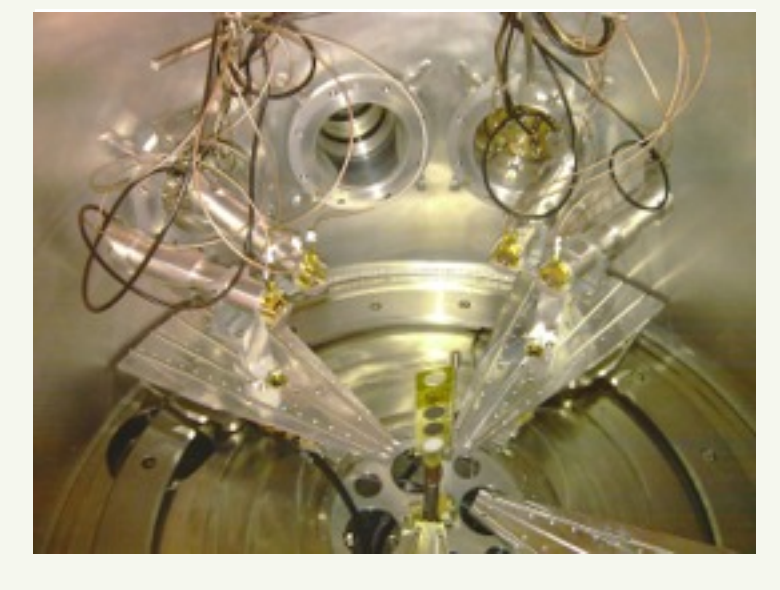
GANIL, Caen

- -cible de carbone de 250 µm
- -intensité de faisceau de 106-107 pps
- -5 télescopes ΔE-ΔE-E de 4° à 56°
- -dispositif de contrôle faisceau

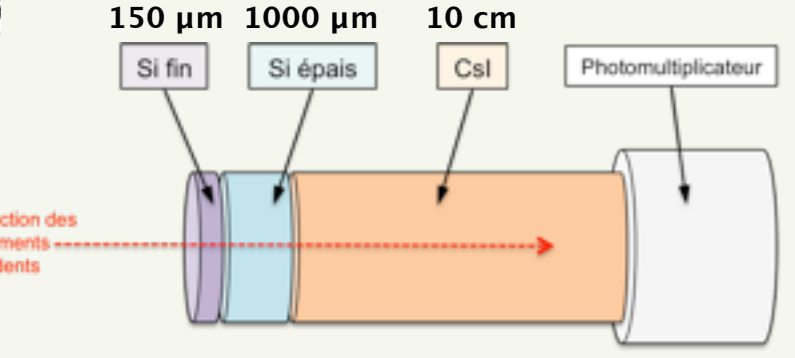
Dispositif expérimental E600

Objectif: mesures de sections efficaces doublement différentielles pour les réactions C+C, C+H, C+Ti, C+O à 95 MeV/n.



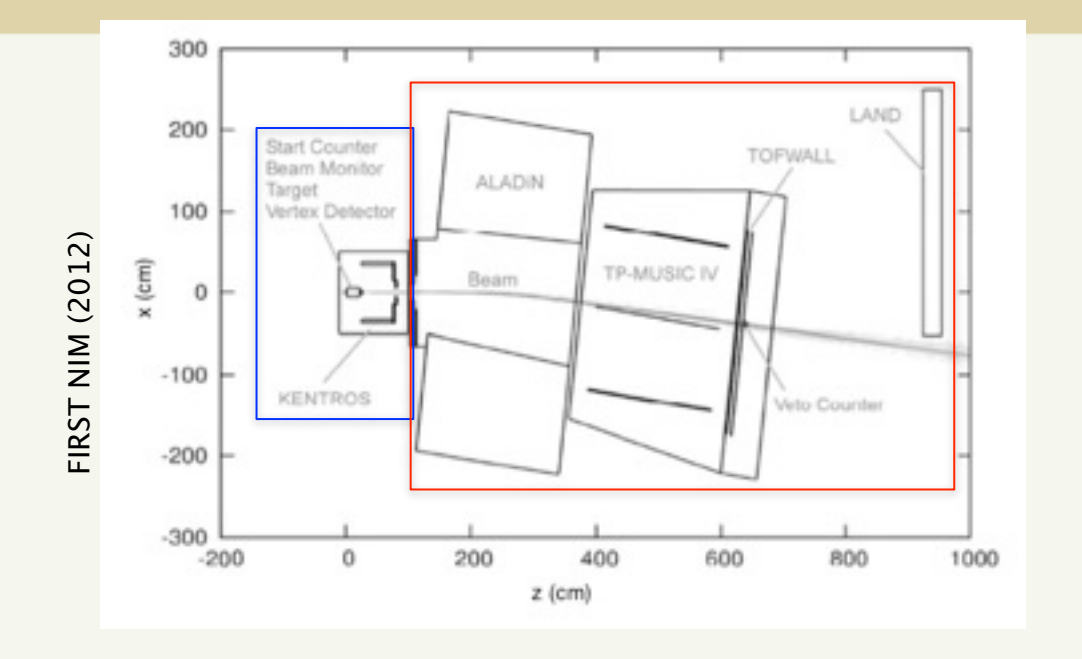


- -cible de carbone de 250 µm
- -intensité de faisceau de 106-107 pps
- -5 télescopes ΔE-ΔE-E de 4° à 56°
- -dispositif de contrôle faisceau



Dispositif expérimental FIRST

Objectif : mesures de sections efficaces différentielles pour la réaction C+C à 400 MeV/n.

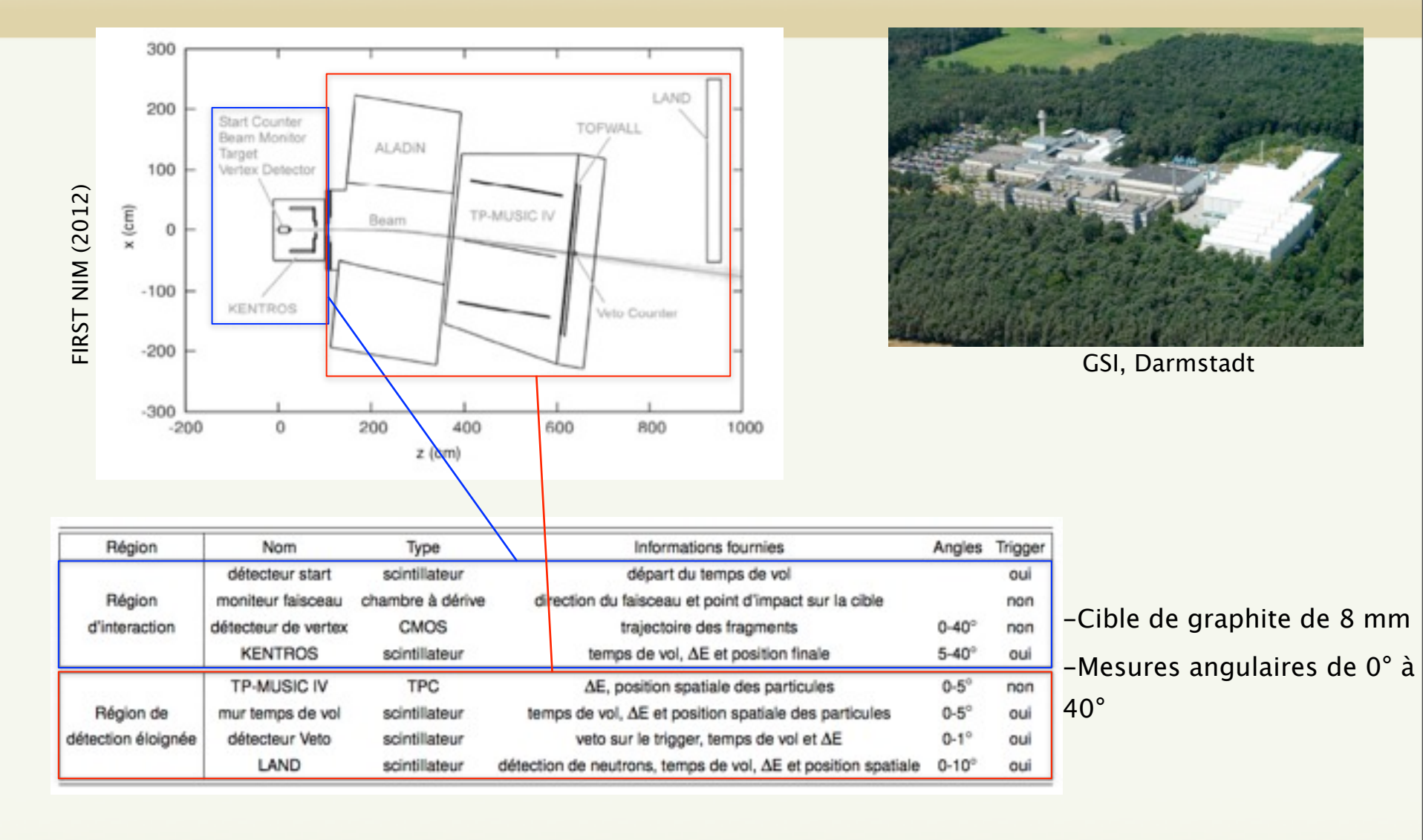


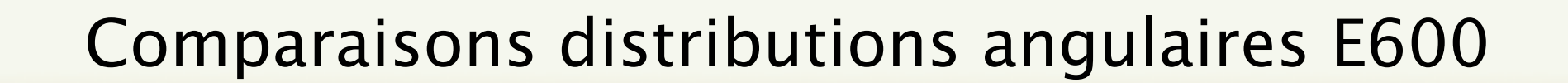


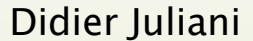
GSI, Darmstadt

Dispositif expérimental FIRST

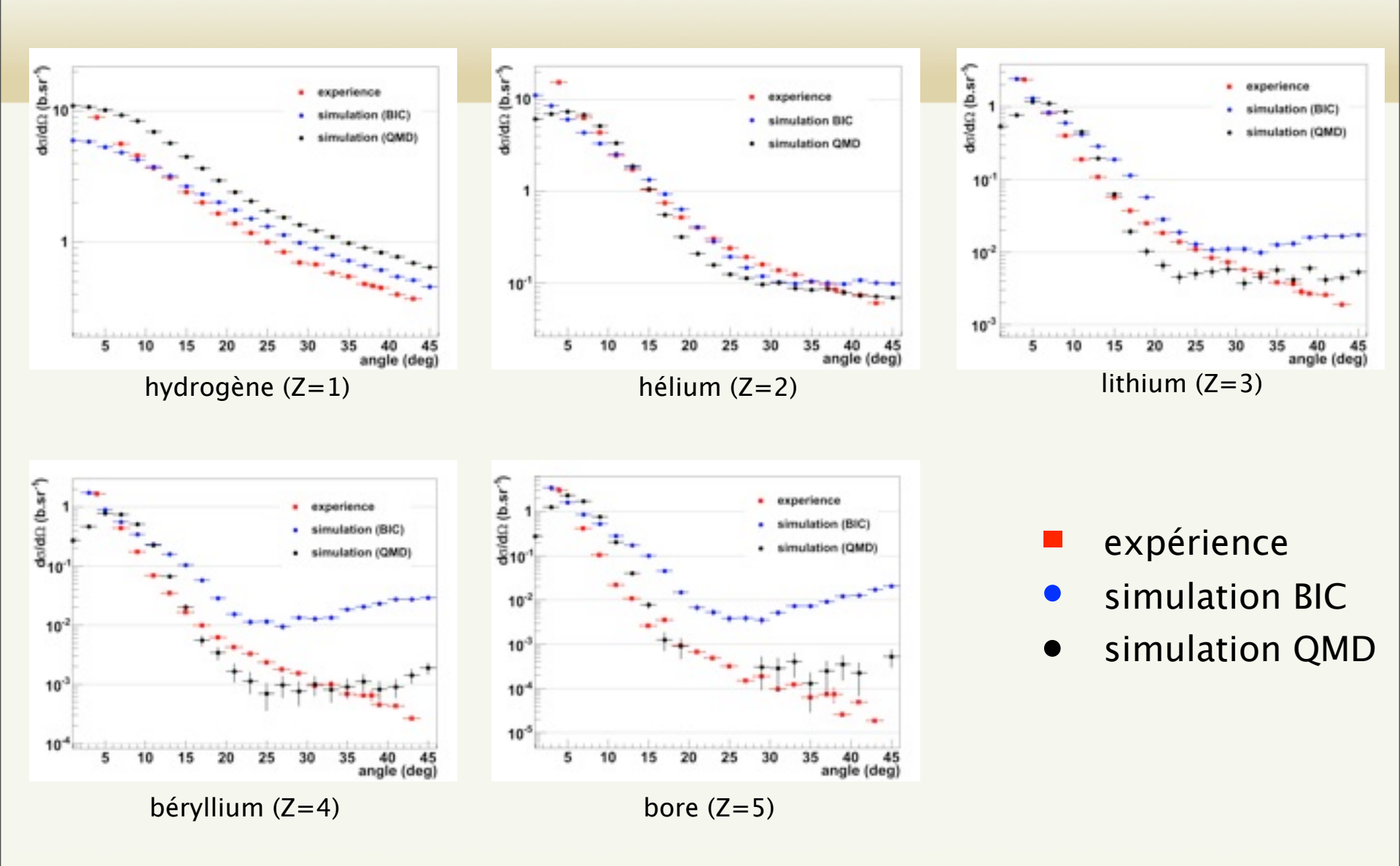
Objectif : mesures de sections efficaces différentielles pour la réaction C+C à 400 MeV/n.



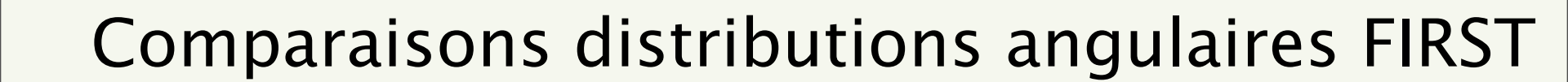




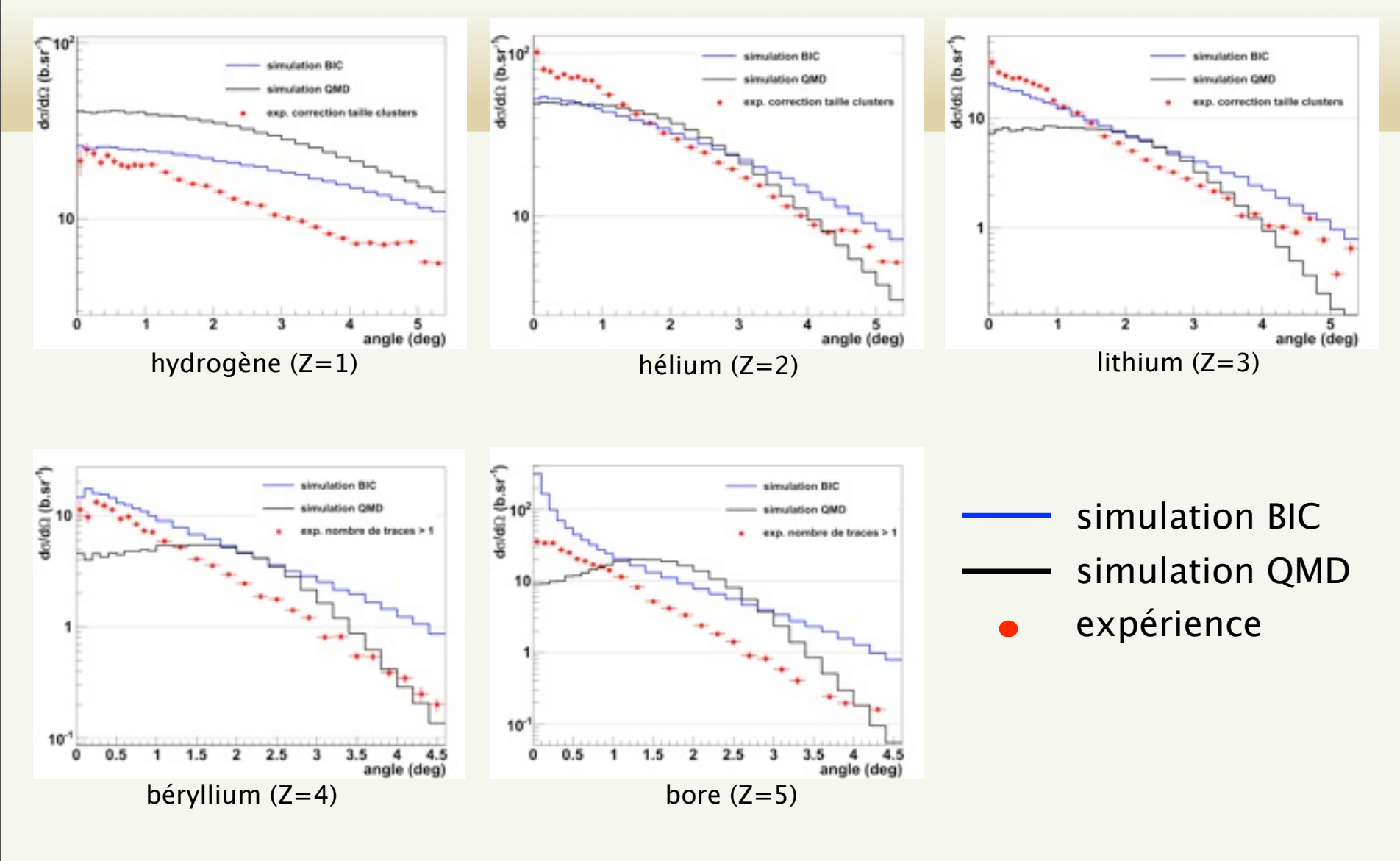
Comparaisons distributions angulaires E600



Didier Juliani

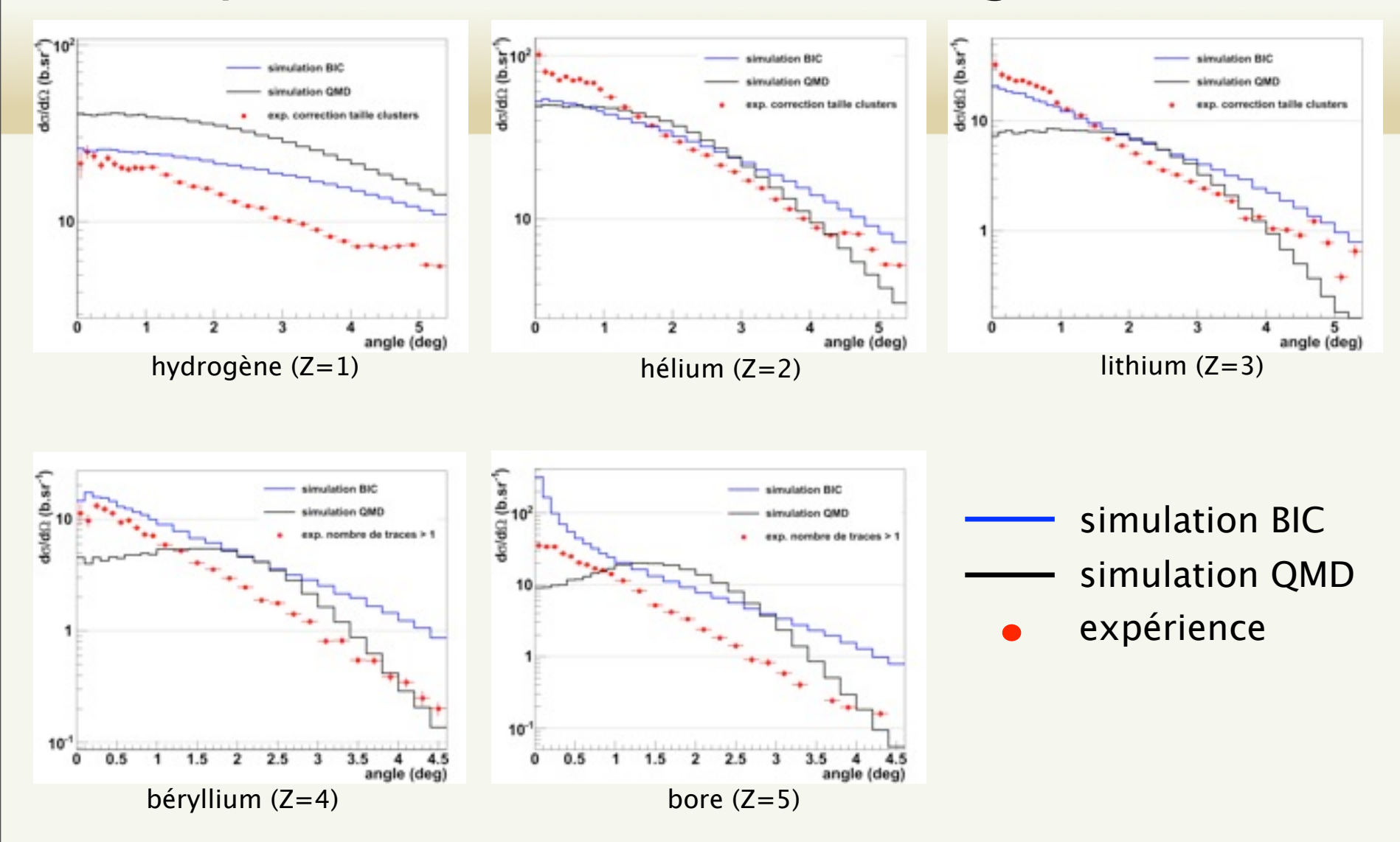


Comparaisons distributions angulaires FIRST



Didier Juliani

Comparaisons distributions angulaires FIRST



Modèles reproduisent mal les données, nécessité de continuer les campagnes de mesures.

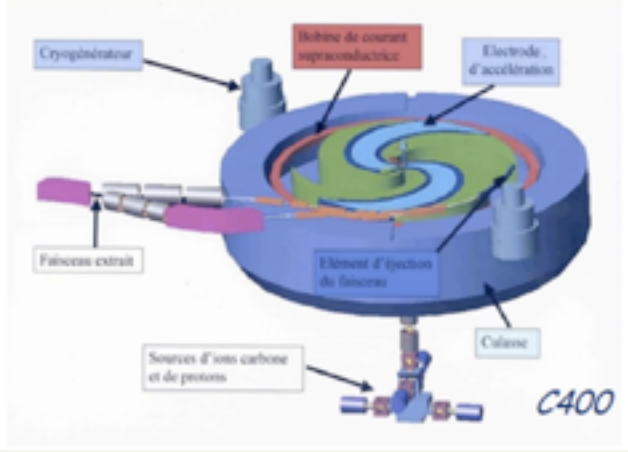
Didier Juliani

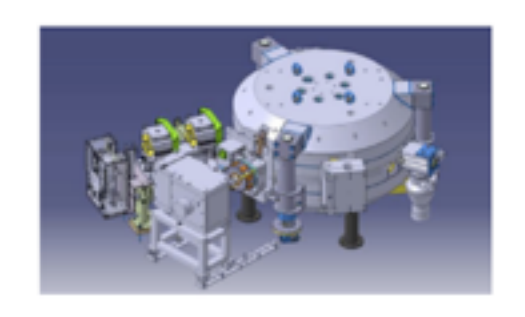
ARCHADE

(Advanced Resource Centre for HADrontherapy in Europe)



Perspective båtiment ARCHADE- phase finale APS -SOGEA Nord-Ouest (groupe VINCI)





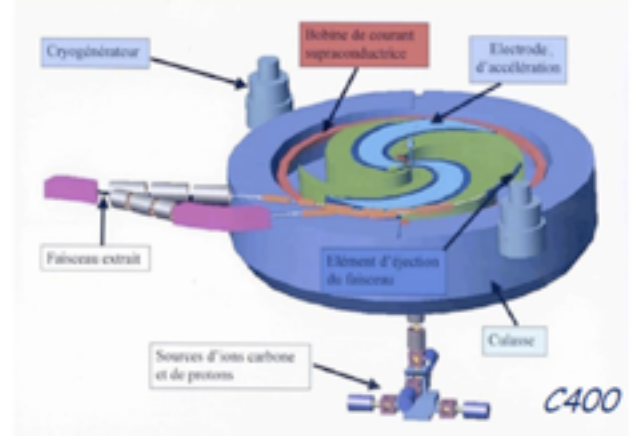
52C2

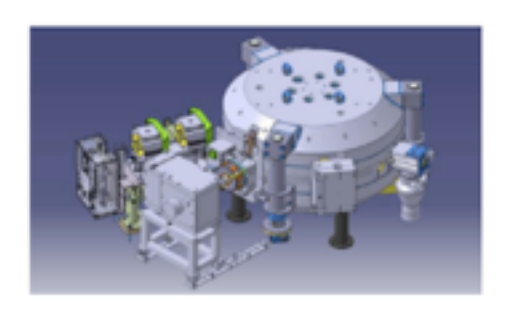
ARCHADE

(Advanced Resource Centre for HADrontherapy in Europe)



Perspective bâtiment ARCHADE- phase finale APS -SOGEA Nord-Ouest (groupe VINCI)

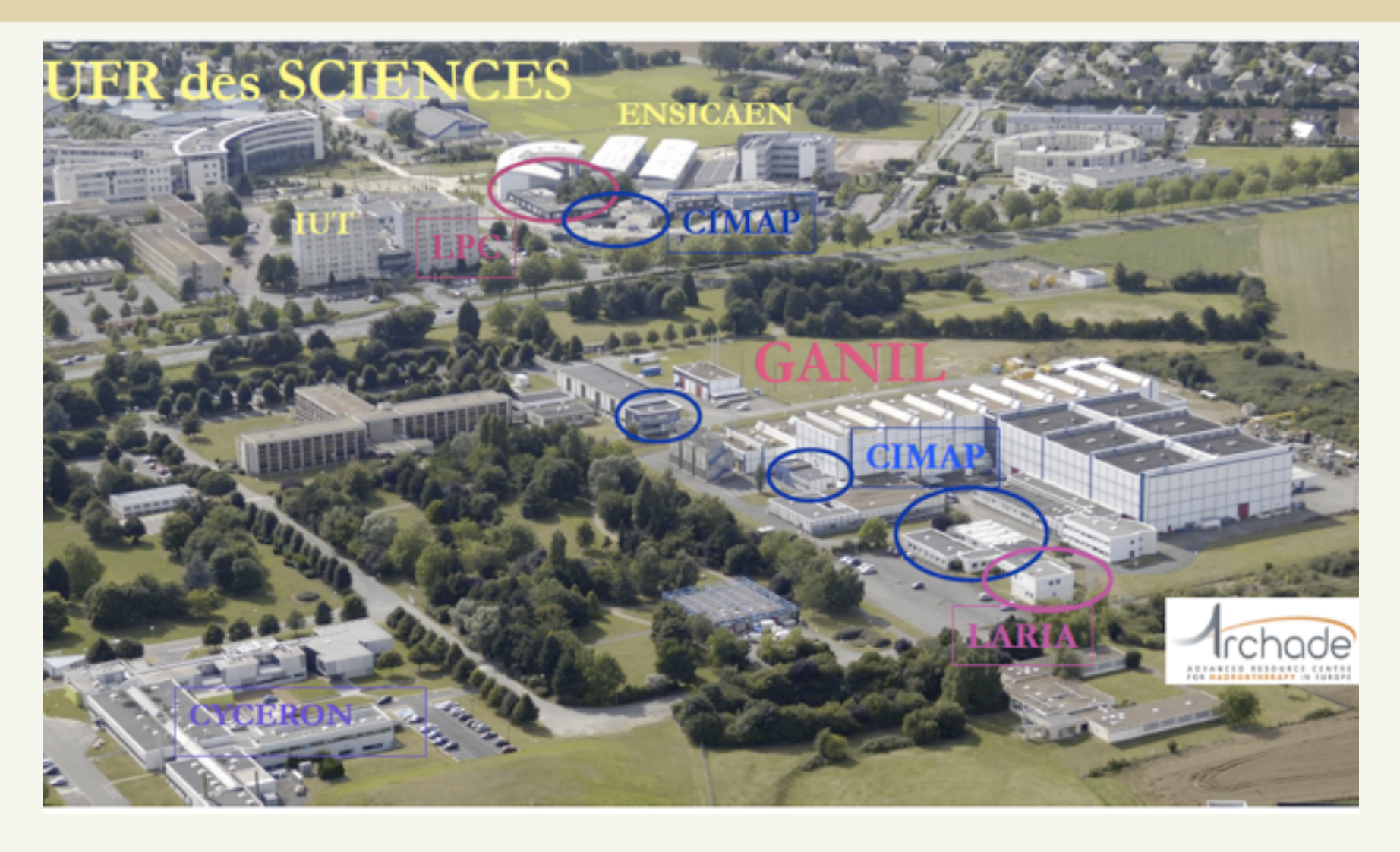




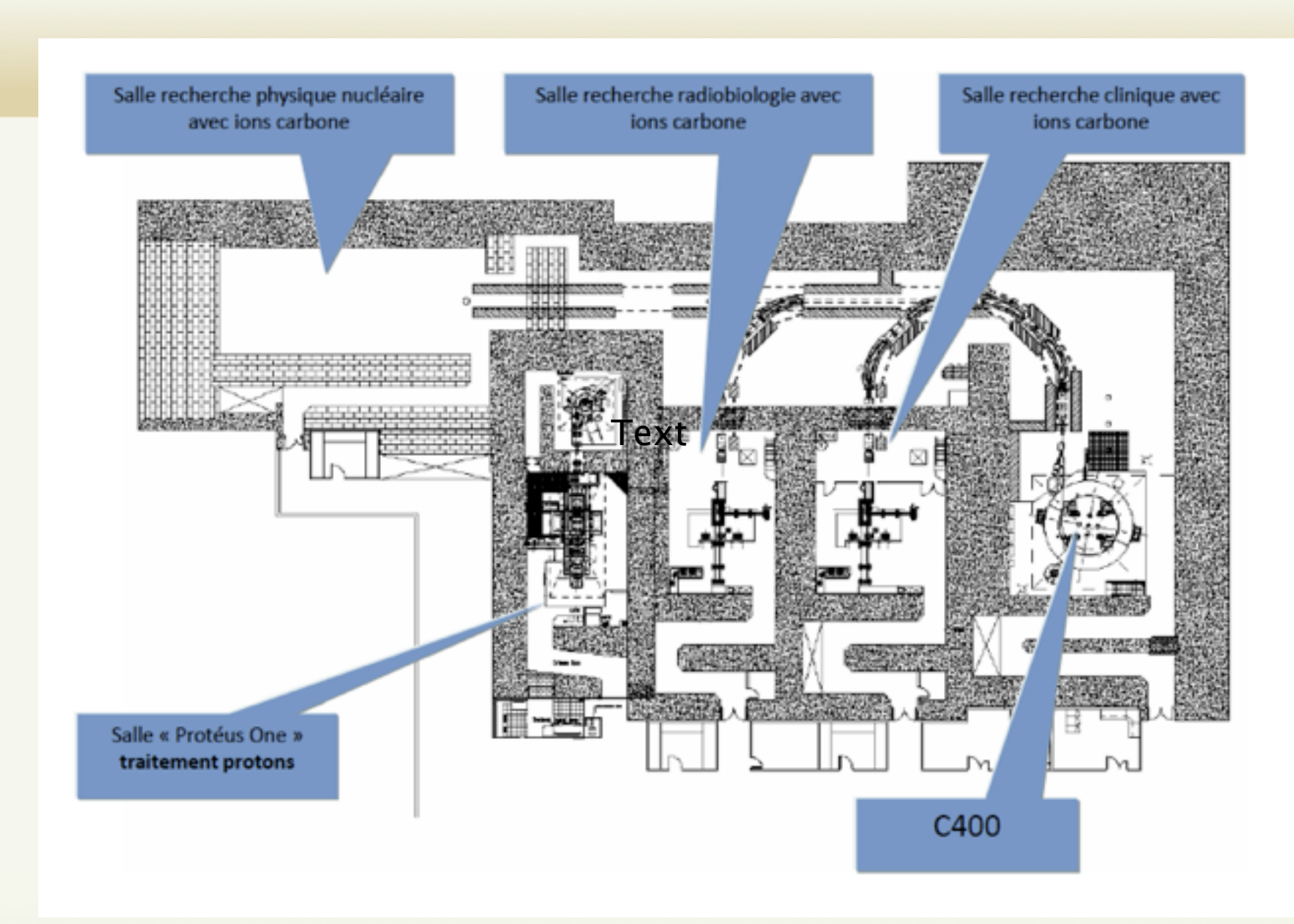
52C2

> Centre de traitement en protonthérapie et recherche en hadronthérapie

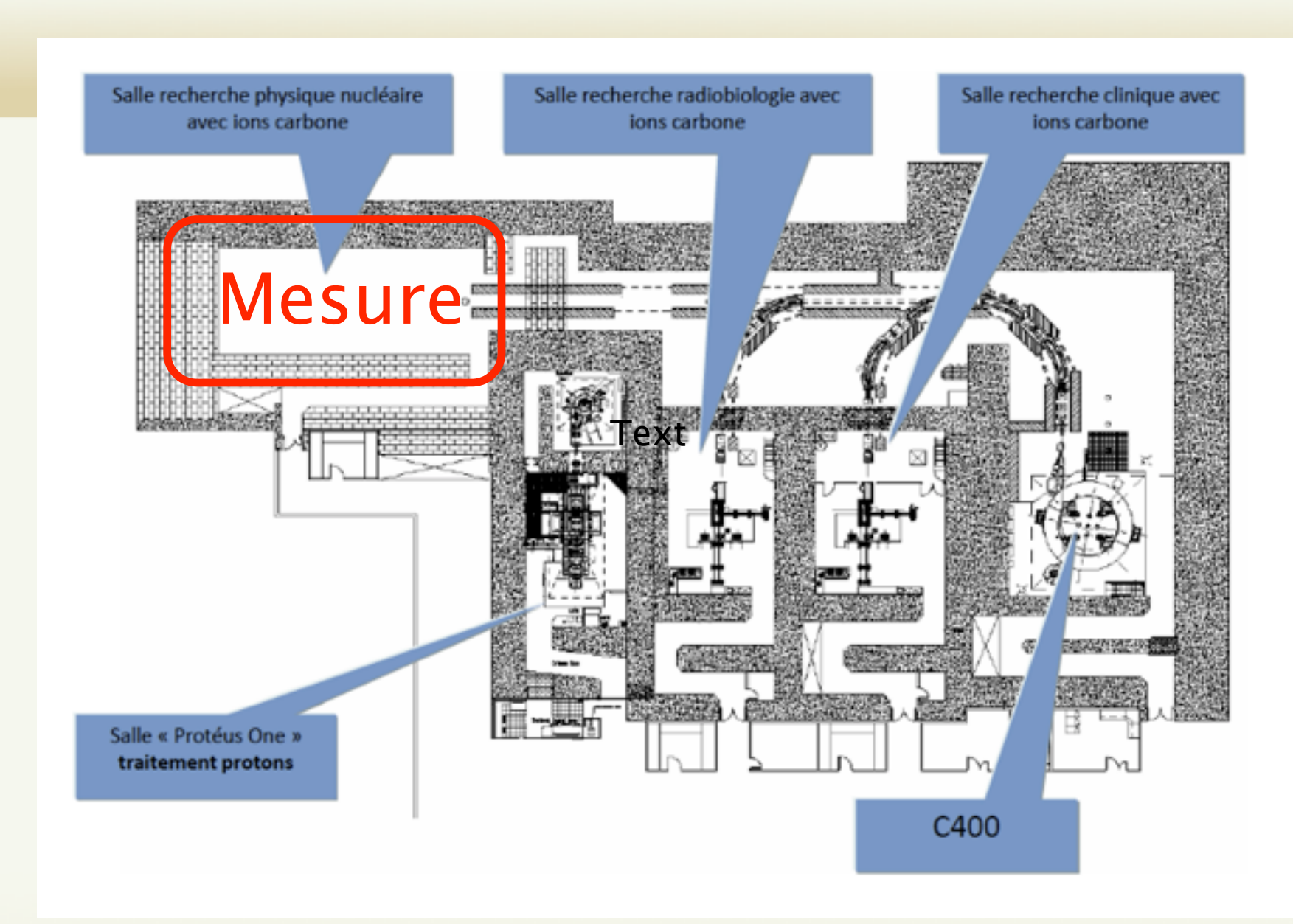
Situation



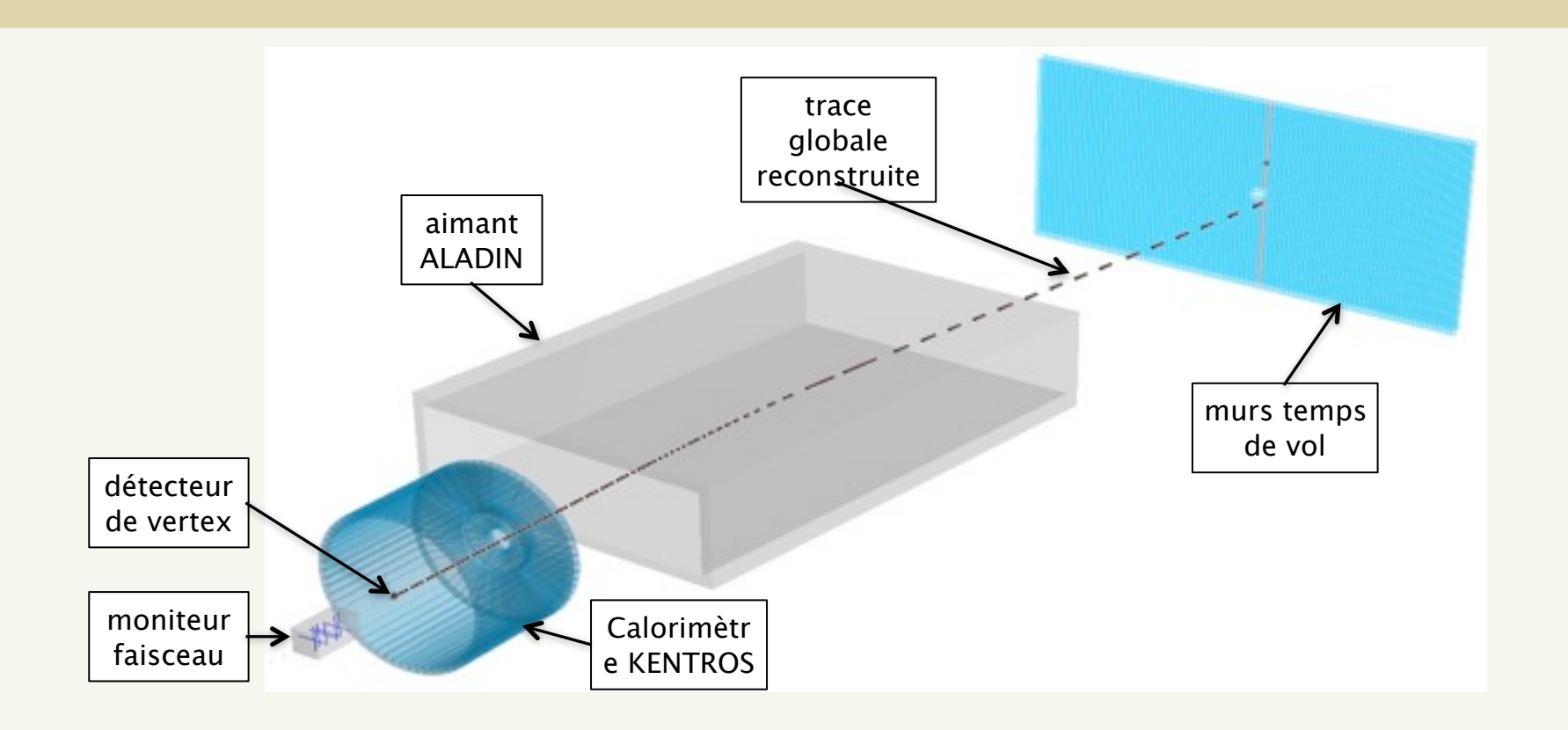
Salles



Salles



Dispositif expérimental



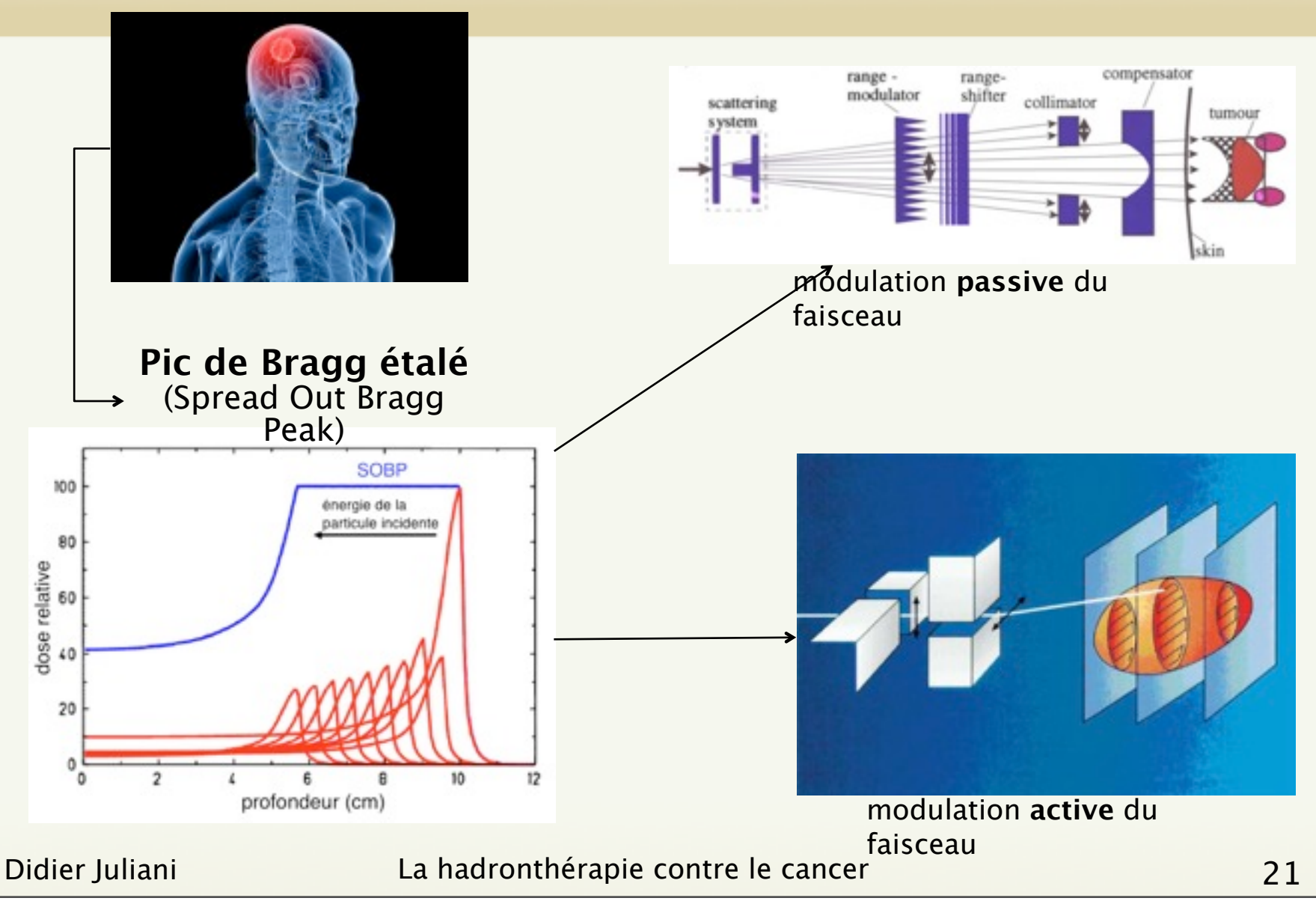
Thèse: Etude d'un dispositif à la FIRST à l'aide de simulation GEANT4; système de trajectographie + temps de vol. Montage de prototypes + test sous faisceau.

But : Avoir un dispositif opérationnel pour le démarrage de la salle de physique d'ARCHADE (≥ 2018).



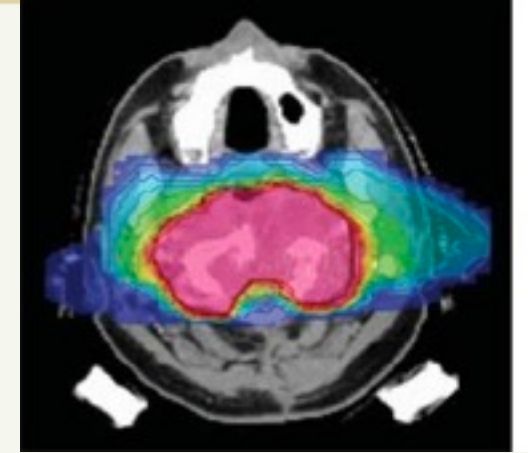
Pic de Bragg étalé

tumeur en volume

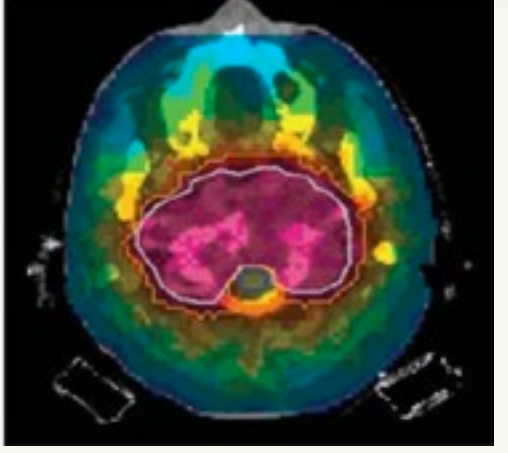


Dépôt de dose

Notion de dose
$$D(x) = \frac{E(x)}{m(x)}$$



hadronthérapie carbone

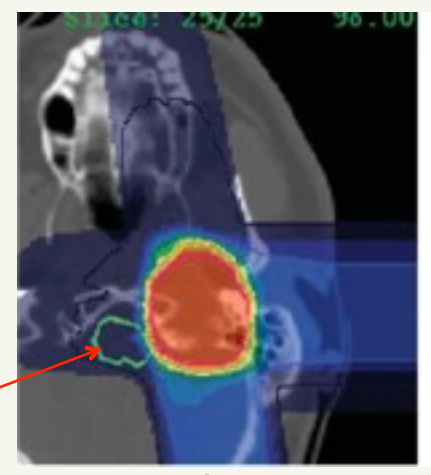


photon IMRT

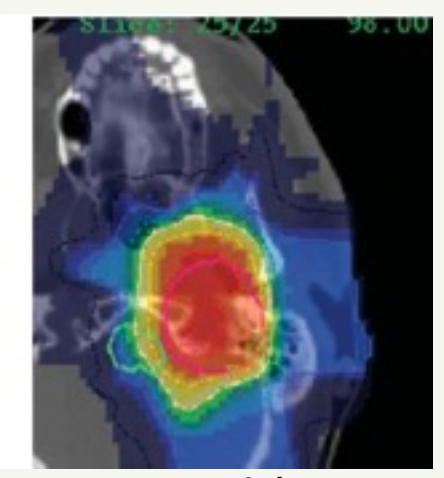
- -9 canaux d'entrée pour les photons
- -2 canaux pour les ions carbone

gradient de dose plus grand pour les ions carbone

Tronc cérébrał



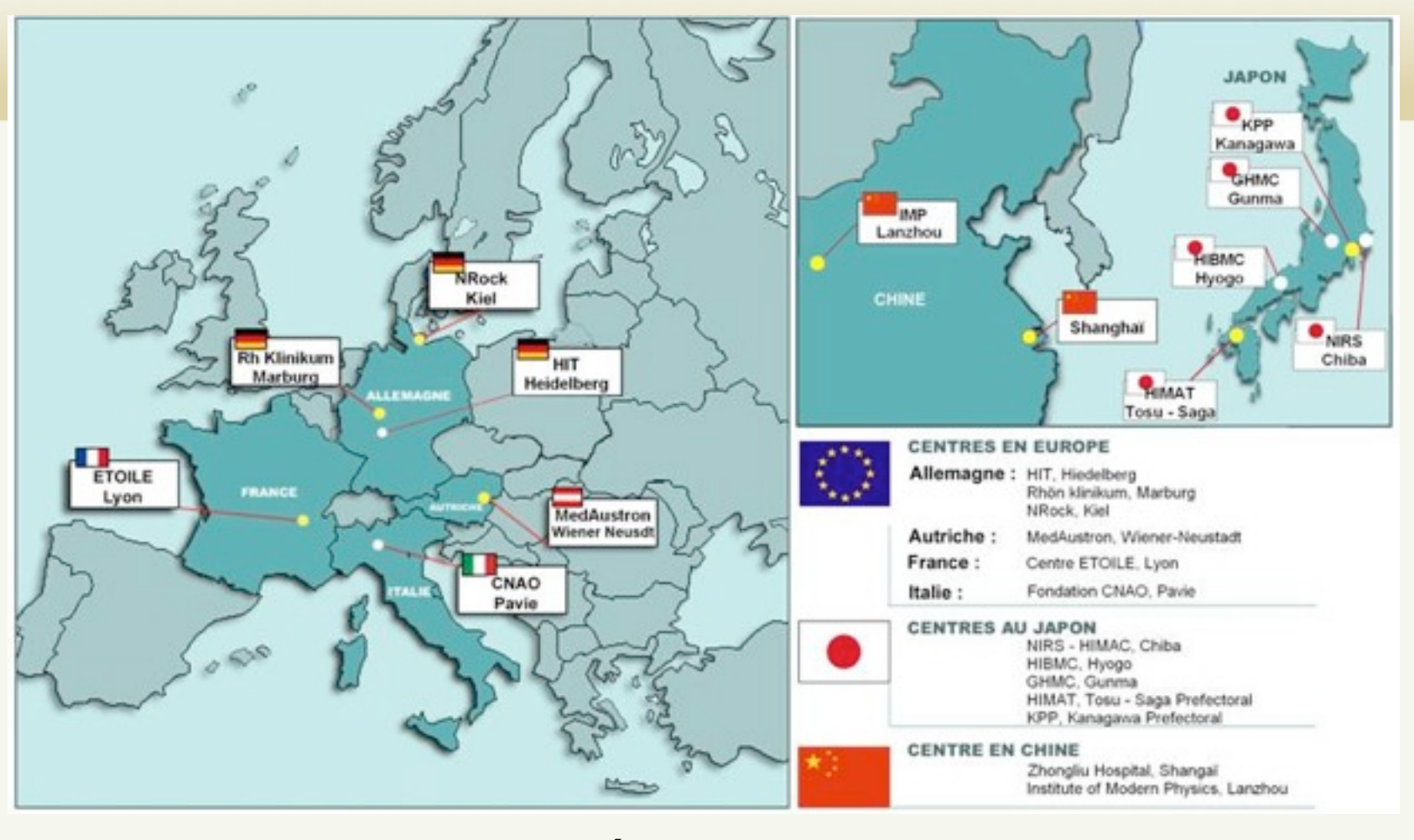
hadronthérapie carbone



protonthérapie

Didier Juliani

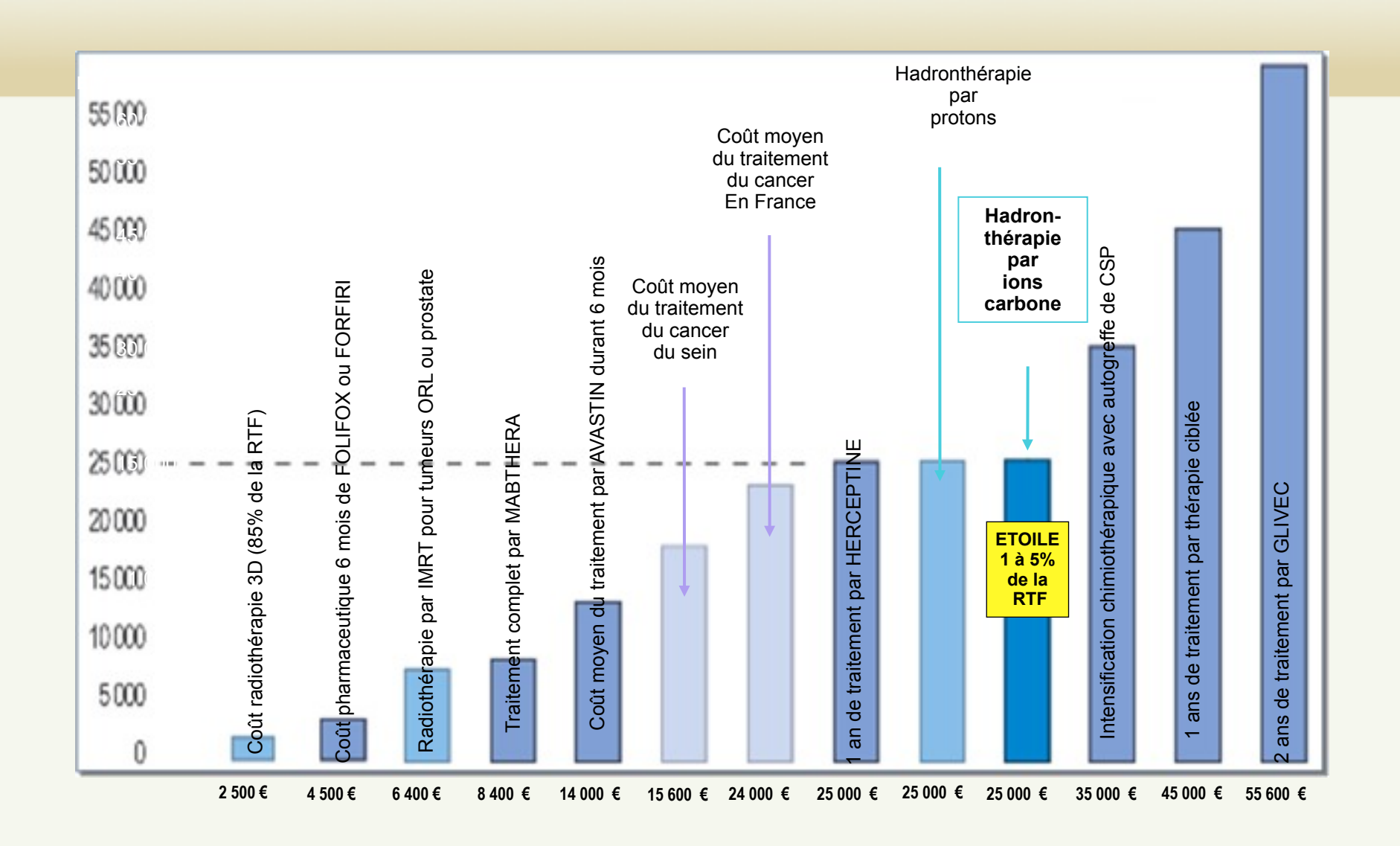
Situation au plan européen et mondial



Les autres projets en discussion : États-Unis, Corée du Sud, Taiwan, Malaisie, Arabie Saoudite, Russie, Afrique du Sud, Australie...
En France, projet Archade.

Didier Juliani

Coûts des traitements anticancéreux



Didier Juliani

Place de l'hadronthérapie

- 10% des patients à traiter par radiothérapie devraient recevoir une hadronthérapie proton ou carbone, soit ≈ 16000 patients / an
- 0.6% des radiothérapies sont réalisées actuellement par protons
- Un traitement d'hadronthérapie coûte en moyenne 5 à 10 fois plus cher qu'une radiothérapie conventionnelle ... mais le coût complet d'un patient supporté par l'assurance maladie est équivalent pour des indications bien sélectionnées

effet indirect rayonnement ionisant

The concept is based on a very simplified scheme [reactions (8)	2)-(86)].
DNA + ionizing radiation → damaged DNA	(82)
DNA + ionizing radiation → DNA* (various DNA radicals	s) (83)
DNA* → damaged DNA	(84)
DNA* + RSH → DNA (chemical repair)	(85)
DNA* + O ₂ → DNA-O ₂ * (oxygen fixation)	(86)

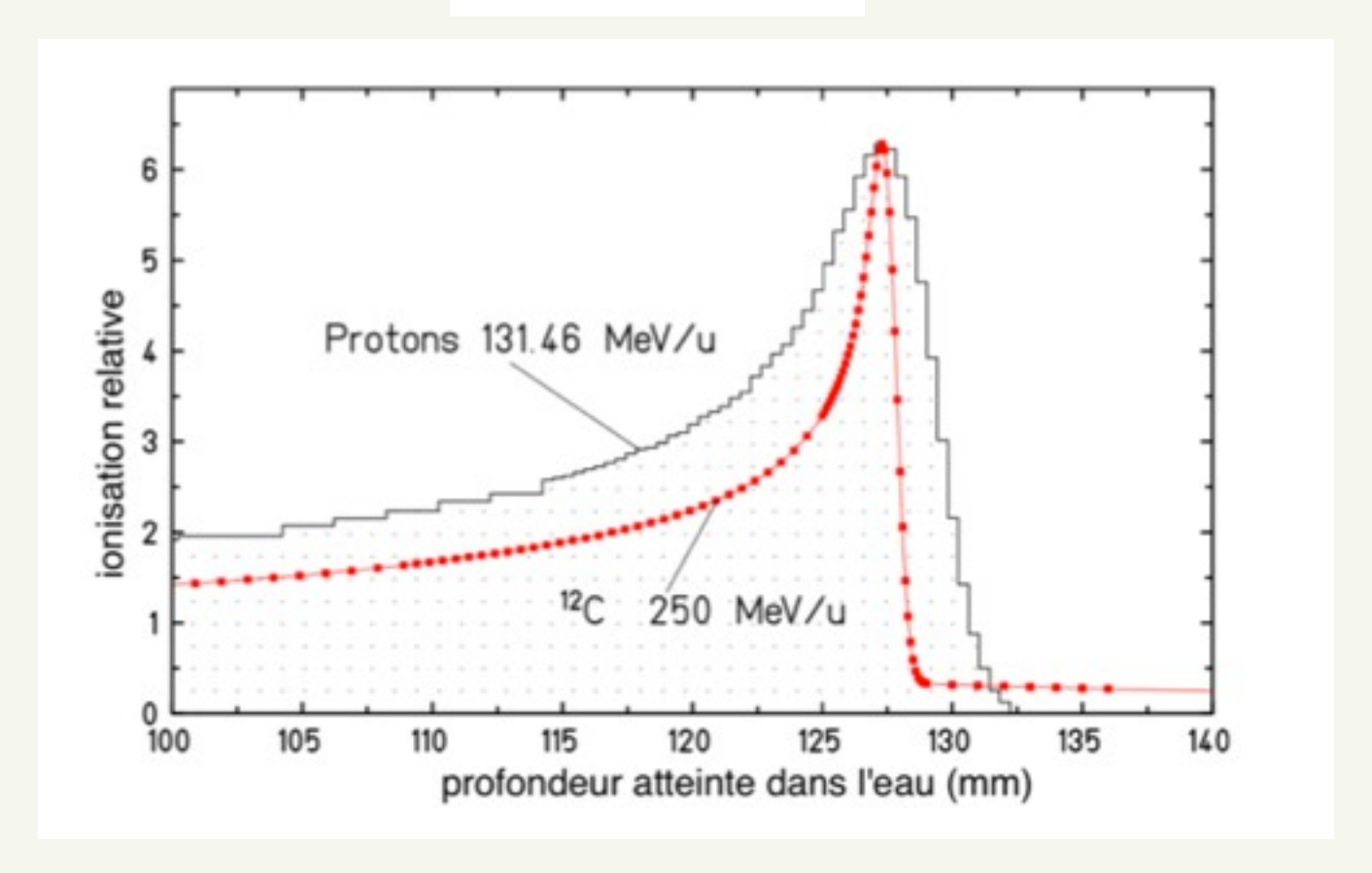
Le faisceau C⁶⁺ de la source au patient

	Spécificités du chaqu	faisceau C ⁶⁺ ue équipeme	
Synchrotron GSI Linac		Énergie MeV/µ	lmax mA
Accélérateur linéaire LINAC	Source	0.008	0,16
SYNCI	ROTRON	7	0,15
a apa pa av ///	Synchrotron	420	0,15
High energy beam lines	Salle : traitement	120 à 400	0,002 2 nA
Treatment rooms	Pavie		

Didier Juliani

dispersion du parcours des protons et ions carbone

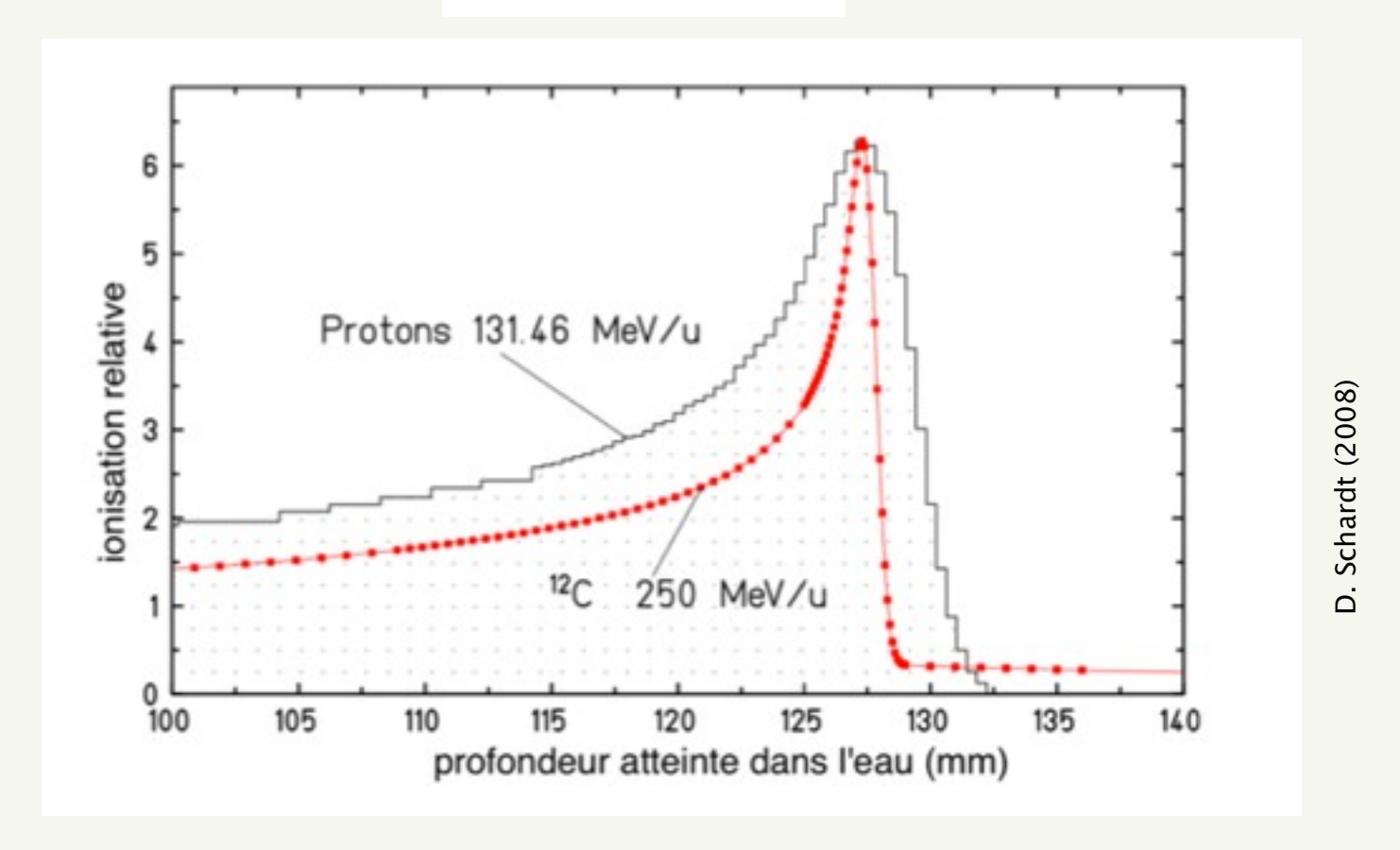
$$\frac{\sigma_R}{R} = \frac{1}{\sqrt{M}} f\left(\frac{E}{Mc^2}\right)$$



Didier Juliani

dispersion du parcours des protons et ions carbone

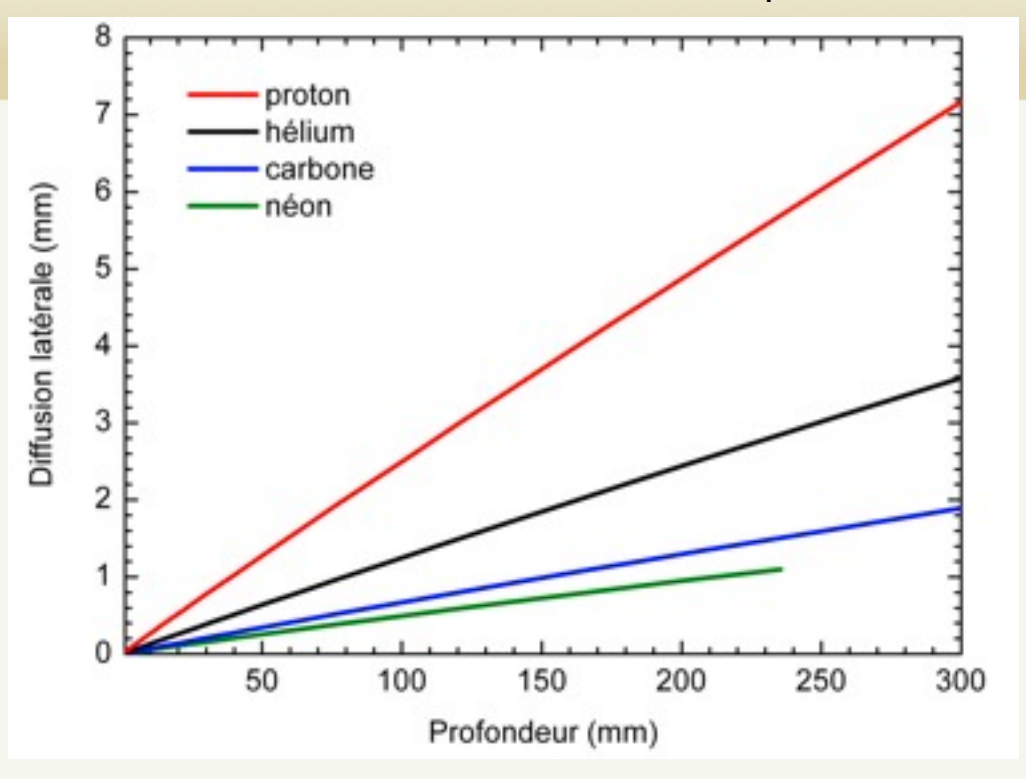
$$\frac{\sigma_R}{R} = \frac{1}{\sqrt{M}} f\left(\frac{E}{Mc^2}\right)$$



Didier Juliani

diffusion latérale du faisceau dans l'eau

collisions nucléaires élastiques

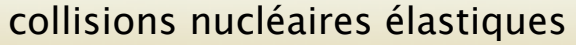


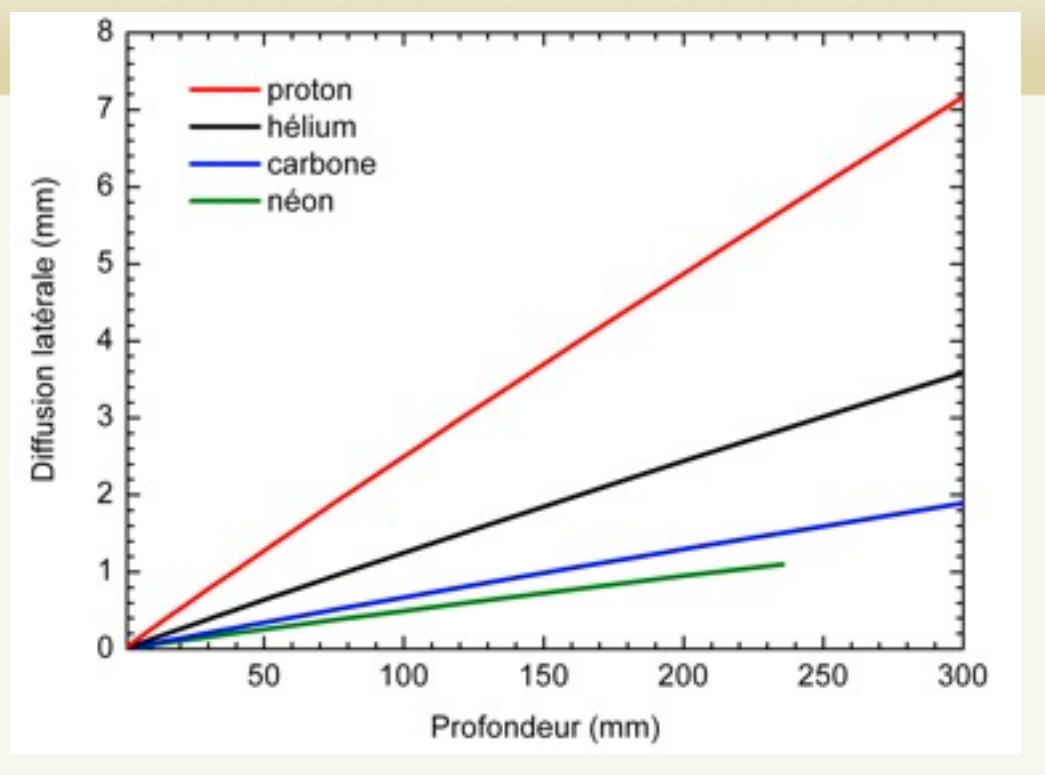
$$F(\theta, L) = \frac{1}{\sqrt{2\pi\sigma_{\theta}}} exp\left(-\frac{\theta^{2}}{2\sigma_{\theta}^{2}}\right)$$

$$\sigma_{\theta}[rad] = \frac{13,6 MeV}{Pc\beta} Z \sqrt{\frac{L}{X_0}} \left[1 + 0.038 ln \left(\frac{L}{X_0} \right) \right]$$

Didier Juliani

diffusion latérale du faisceau dans l'eau





$$F(\theta, L) = \frac{1}{\sqrt{2\pi\sigma_{\theta}}} exp\left(-\frac{\theta^{2}}{2\sigma_{\theta}^{2}}\right)$$

$$\sigma_{\theta}[rad] = \frac{13,6 MeV}{Pc\beta} Z \sqrt{\frac{L}{X_0}} \left[1 + 0.038 ln \left(\frac{L}{X_0} \right) \right]$$

Didier Juliani

La hadronthérapie contre le cancer

Le Foulher (2010)

Planning

Calendrier du programme ARCHADE

Signature du contrat pour le bâtiment
Signature du contrat d'achat du Proteus One
Finalisation des baux pour le terrain

□ Juin 2013 Signature de la convention de financement avec les banques
Début du développement du C400

□ Fin 2013 Dépôt permis de construire et dossier ICPE

□ Fin 2014 Début des travaux du bâtiment

□ Fin 2015 Fin des travaux du bâtiment, livraison et installation du Proteus One

☐ Fin 2016 Traitement des premiers patients en protons

□ Fin 2018 Début des travaux de recherche sur le carbone avec les équipements du centre ARCHADE